

2016 年度 修士論文

2 次元量子ウォークのボソン・フェルミオン模型
Bosonic and Fermionic Models
of Two-Dimensional Quantum Walks

中央大学大学院 理工学研究科
博士課程前期課程 物理学専攻
星谷 友之

目 次

第 1 章 序論	4
1.1 1次元量子ウォークと極限定理	4
1.2 フーリエ解析法	10
第 2 章 本論	15
2.1 方法	15
2.2 計算及び結果	21
第 3 章 結論	41
3.1 結果のまとめ	41
3.2 考察	45

謝辞

香取眞理教授には、研究発表や論文執筆に関する基礎的な技術から、統計物理・数理物理の研究に対する発展的なアプローチに至るまで、多岐に渡りご指導を戴きました。深謝申し上げます。杉本秀彦教授と中村真教授には本論文の副査をしていただきました。感謝申し上げます。また、香取研究室のAndraus Sergio 助教、脇田順一准教授や脇田研究室の本田良二郎さんにもお世話になりました。ありがとうございました。最後に、いつも支えてくれた家族に感謝致します。

はじめに

量子ウォークとは、古典ランダムウォークに対する量子力学的な拡張である [1, 2, 3]。両者の興味深い対比として、古典ランダムウォークの事象は一本一本の経路として独立に考られたが、量子ウォークでは量子性による重ね合わせが生じるためにそれが不可能となることが挙げられる。それゆえ量子ウォークは、古典ランダムウォークでは見られない不思議な性質を持つことになる。

量子ウォークに関する研究の中心的な課題として、長時間極限における極限分布の導出がある。1次元量子ウォークの極限分布は一般的に、古典ランダムウォークにおける正規分布とは形が全く異なる確率密度関数によって表されるということが、組み合わせ論的な手法 [4, 5] やフーリエ解析法 [6] によって示されている。また2次元量子ウォークでは、特殊な条件を課した模型について極限分布が提示されている [7]。

そこで本論文では、[7] とは異なる新しいタイプの2次元量子ウォーク模型の極限分布の導出について議論する。 x 方向と y 方向に、互いに独立な1次元量子ウォークをそれぞれ一つずつ用意し、それらの確率振幅ベクトルの成分を組み合わせることで2次元量子ウォークの確率振幅を作る。その際にボソンとフェルミオンという2種類の組み合わせを考える。それが本論文の題目「2次元量子ウォークのボソン・フェルミオン模型」が名付けられた所以である。そして、それぞれの模型について [6] の手法を応用して結合モーメントを計算する。その結果として導き出された極限分布の特徴を報告することが本論文の目的である。

本論文は以下のように構成されている。第1章の序論では、既に知られている一般的な1次元量子ウォークの性質と、主要な解析法であるフーリエ解析法を紹介する。第2章の本論では、新しい2次元量子ウォーク模型を具体的に構成し、確率密度関数を導出する計算過程を述べる。第3章の結論では、計算から得られた極限分布を表す確率密度関数を考察する。

第1章 序論

1.1 1次元量子ウォークと極限定理

量子ウォークの標準的な模型は、1次元格子上の離散時間量子ウォークである[1, 2]。最初に空間と時間を離散化する。

$$x \in \{\dots, -2, -1, 0, 1, 2, \dots\}, \quad t \in \{0, 1, 2, \dots\}.$$

格子上には量子ウォーカーが1人だけ存在するが、量子力学における不確定性原理のため、各時刻での位置を確定することはできない。そこで、存在確率を考えることになる。時刻 t で格子点 x に量子ウォーカーが存在する確率振幅を

$$\psi(x, t) = \begin{pmatrix} \varphi_1(x, t) \\ \varphi_2(x, t) \end{pmatrix} = \varphi_1(x, t) \begin{pmatrix} 1 \\ 0 \end{pmatrix} + \varphi_2(x, t) \begin{pmatrix} 0 \\ 1 \end{pmatrix} \in \mathbb{C}^2 \quad (1.1)$$

で与える。このように確率振幅は、 $\begin{pmatrix} 1 \\ 0 \end{pmatrix}$ 及び $\begin{pmatrix} 0 \\ 1 \end{pmatrix}$ という2つの状態の重ね合わせとして表される。確率振幅の2乗ノルム

$$\|\psi(x, t)\|^2 = |\varphi_1(x, t)|^2 + |\varphi_2(x, t)|^2 \quad (1.2)$$

は存在確率を与える。当然、存在確率は各時刻 t において規格化される。

$$\sum_{x=-\infty}^{\infty} \|\psi(x, t)\|^2 = 1.$$

初期時刻 $t = 0$ での量子ウォーカーの位置は原点とする。この初期状態を与える確率振幅は、量子ウォーカーが存在する原点に単位ベクトル ϕ を置き、それ以外の位置には零ベクトルを置くことよって

$$\psi(x, 0) = \begin{cases} \phi = \begin{pmatrix} \alpha \\ \beta \end{pmatrix}, \quad |\alpha|^2 + |\beta|^2 = 1, \quad \alpha, \beta \in \mathbb{C} & x = 0, \\ \mathbf{0} = \begin{pmatrix} 0 \\ 0 \end{pmatrix} & x \neq 0 \end{cases} \quad (1.3)$$

のように表す。単位ベクトル ϕ を $t = 0$ における量子ビットとよぶ。

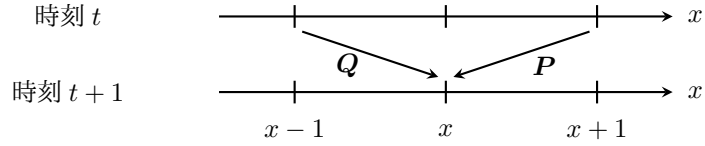


図 1.1: 一つ前の時刻の左右からの寄与を足し合わせる.

古典的な1次元最近接ランダムウォークでは左格子点に移動する確率を p , 右格子点に移動する確率を $q = 1 - p$ とおくが, 量子ウォークではこれらの代わりに 2×2 行列 \mathbf{P} , \mathbf{Q} を考える.

$$\mathbf{P} = \begin{pmatrix} a & b \\ 0 & 0 \end{pmatrix}, \quad \mathbf{Q} = \begin{pmatrix} 0 & 0 \\ c & d \end{pmatrix}, \quad a, b, c, d \in \mathbb{C}. \quad (1.4)$$

そして, $\mathbf{U} = \mathbf{P} + \mathbf{Q}$ を量子コインとよぶ. 但し, \mathbf{U} は 2×2 のユニタリ行列となるものとする.

$$\mathbf{U} = \mathbf{P} + \mathbf{Q} = \begin{pmatrix} a & b \\ c & d \end{pmatrix} \in \mathbf{U}(2). \quad (1.5)$$

ここで, $\mathbf{U}(2)$ は 2×2 ユニタリ行列全体の集合を表す. これらの \mathbf{P} と \mathbf{Q} を用いて, 全ての格子点 $x \in \{\dots, -2, -1, 0, 1, 2, \dots\}$ 上において漸化式

$$\psi(x, t+1) = \mathbf{Q} \psi(x-1, t) + \mathbf{P} \psi(x+1, t) \quad (1.6)$$

に従って, 確率振幅を時間発展させていく. 図1.1に(1.6)を図示した. また, $\Xi(x, t)$ という 2×2 行列を考える. この行列は, 時間 t の間に原点から位置 x に至る量子ウォークの経路の重ね合わせを, \mathbf{P} と \mathbf{Q} の積の和を用いて表したものである. 先程出てきた初期の量子ビット ϕ に対し, この $\Xi(x, t)$ を掛けると, 時空点 (x, t) における確率振幅 $\psi(x, t)$ が求まる. ゆえに量子ウォークの時刻 t における格子点 x での存在確率は

$$\|\psi(x, t)\|^2 = \|\Xi(x, t)\phi\|^2 \quad (1.7)$$

で与えられることになる.

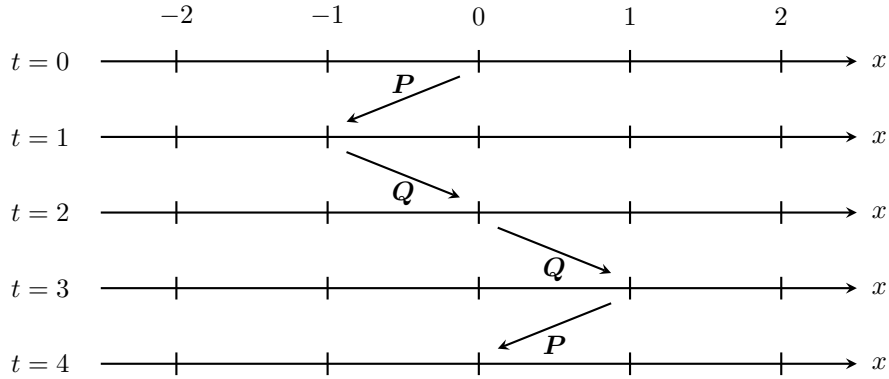


図 1.2: $t = 0$ から $t = 4$ に向かって $\mathbf{P} \mathbf{Q} \mathbf{Q} \mathbf{P} = \mathbf{P} \mathbf{Q}^2 \mathbf{P}$.

以下, 具体例として, 初期の量子ビットが $\phi = \begin{pmatrix} \frac{1}{\sqrt{2}} \\ \frac{i}{\sqrt{2}} \end{pmatrix}$, 量子コインが $\mathbf{U} = \begin{pmatrix} \frac{1}{\sqrt{2}} & \frac{1}{\sqrt{2}} \\ \frac{1}{\sqrt{2}} & -\frac{1}{\sqrt{2}} \end{pmatrix}$ で与えられたときの, $t = 4$, $x = 0$ における量子ウォーカーの存在確率を計算してみることにする. 但しここで, i は虚数単位を表すものとする. 時間 $t = 4$ の間に原点から原点に至る経路は, $\mathbf{P}^2 \mathbf{Q}^2$, $\mathbf{P} \mathbf{Q} \mathbf{P} \mathbf{Q}$, $\mathbf{P} \mathbf{Q}^2 \mathbf{P}$, $\mathbf{Q} \mathbf{P}^2 \mathbf{Q}$, $\mathbf{Q} \mathbf{P} \mathbf{Q} \mathbf{P}$, $\mathbf{Q}^2 \mathbf{P}^2$ の 6 種類がある. 図 1.2 はその内の 1 つである $\mathbf{P} \mathbf{Q} \mathbf{Q} \mathbf{P}$ を示している. ゆえに経路の重ね合わせ $\Xi(0, 4)$ は

$$\Xi(0, 4) = \mathbf{P}^2 \mathbf{Q}^2 + \mathbf{P} \mathbf{Q} \mathbf{P} \mathbf{Q} + \mathbf{P} \mathbf{Q}^2 \mathbf{P} + \mathbf{Q} \mathbf{P}^2 \mathbf{Q} + \mathbf{Q} \mathbf{P} \mathbf{Q} \mathbf{P} + \mathbf{Q}^2 \mathbf{P}^2 \quad (1.8)$$

となる. ここに行列の非可換性 $\mathbf{P} \mathbf{Q} \neq \mathbf{Q} \mathbf{P}$ が現れることが特徴である. (1.7), (1.8) より

$$\begin{aligned} \|\psi(0, 4)\|^2 &= \|\Xi(0, 4)\phi\|^2 \\ &= \|(\mathbf{P}^2 \mathbf{Q}^2 + \mathbf{P} \mathbf{Q} \mathbf{P} \mathbf{Q} + \mathbf{P} \mathbf{Q}^2 \mathbf{P} + \mathbf{Q} \mathbf{P}^2 \mathbf{Q} + \mathbf{Q} \mathbf{P} \mathbf{Q} \mathbf{P} + \mathbf{Q}^2 \mathbf{P}^2) \phi\|^2 \end{aligned} \quad (1.9)$$

である. 具体的に $\mathbf{P} = \begin{pmatrix} \frac{1}{\sqrt{2}} & \frac{1}{\sqrt{2}} \\ 0 & 0 \end{pmatrix}$, $\mathbf{Q} = \begin{pmatrix} 0 & 0 \\ \frac{1}{\sqrt{2}} & -\frac{1}{\sqrt{2}} \end{pmatrix}$, $\phi = \begin{pmatrix} \frac{1}{\sqrt{2}} \\ \frac{i}{\sqrt{2}} \end{pmatrix}$ を代入

することにより

$$\begin{aligned}
\|\psi(0, 4)\|^2 &= \left\| \frac{1}{4} \begin{pmatrix} -1 & -1 \\ 1 & -1 \end{pmatrix} \begin{pmatrix} \frac{1}{\sqrt{2}} \\ \frac{\mathbf{i}}{\sqrt{2}} \end{pmatrix} \right\|^2 \\
&= \left\| \frac{1}{4\sqrt{2}} \begin{pmatrix} -1-\mathbf{i} \\ 1-\mathbf{i} \end{pmatrix} \right\|^2 \\
&= \left| \frac{-1-\mathbf{i}}{4\sqrt{2}} \right|^2 + \left| \frac{1-\mathbf{i}}{4\sqrt{2}} \right|^2 \\
&= \frac{2}{16}
\end{aligned} \tag{1.10}$$

と計算される。これが時刻 $t = 4$ における原点 $x = 0$ での量子ウォーカーの存在確率である。仮に (1.9) において一本一本の経路の出現確率を先に計算し、最後に足し合わせて存在確率を求めようとする

$$\begin{aligned}
&\|P^2Q^2\phi\|^2 + \|PQPQ\phi\|^2 + \|PQ^2P\phi\|^2 \\
&+ \|QP^2Q\phi\|^2 + \|QPQP\phi\|^2 + \|Q^2P^2\phi\|^2 \\
&= \frac{1}{16} + \frac{1}{16} + \frac{1}{16} + \frac{1}{16} + \frac{1}{16} + \frac{1}{16} \\
&= \frac{6}{16} \\
&\neq \frac{2}{16}
\end{aligned} \tag{1.11}$$

となる。すなわち量子ウォークでは量子性による重ね合わせが生じるために、古典ランダムウォークのように一本一本の経路の出現確率を独立に考えて計算することはできないということを意味する。

$\phi = \begin{pmatrix} \frac{1}{\sqrt{2}} \\ \frac{\mathbf{i}}{\sqrt{2}} \end{pmatrix}$ 及び $\mathbf{U} = \begin{pmatrix} \frac{1}{\sqrt{2}} & \frac{1}{\sqrt{2}} \\ \frac{1}{\sqrt{2}} & -\frac{1}{\sqrt{2}} \end{pmatrix}$ の場合の量子ウォークは、左右対称な古典ランダムウォーク ($p = q = \frac{1}{2}$ の場合) に対応することが知られているが [1, 2], 表 1.1 と表 1.2 を見比べると $t = 4$ を境に、両者で異なる値をとるようになることがわかる。図 1.3 に示したように、経路の重ね合わせのために原点付近における量子ウォーカーの存在確率は古典ランダムウォークの場合に比べて低くなり、その確率分布は複雑に振動することがわかる。

表 1.1: 古典ランダムウォークの確率分布表.

$t \backslash x$	-5	-4	-3	-2	-1	0	1	2	3	4	5
t	0	0	0	0	0	1	0	0	0	0	0
0	0	0	0	0	$\frac{1}{2}$	0	$\frac{1}{2}$	0	0	0	0
1	0	0	0	0	$\frac{1}{4}$	0	$\frac{2}{4}$	0	$\frac{1}{4}$	0	0
2	0	0	0	$\frac{1}{8}$	0	$\frac{3}{8}$	0	$\frac{3}{8}$	0	$\frac{1}{8}$	0
3	0	0	$\frac{1}{16}$	0	$\frac{4}{16}$	0	$\frac{6}{16}$	0	$\frac{4}{16}$	0	$\frac{1}{16}$
4	$\frac{1}{32}$	0	$\frac{5}{32}$	0	$\frac{10}{32}$	0	$\frac{10}{32}$	0	$\frac{5}{32}$	0	$\frac{1}{32}$
5	0	0	0	0	0	0	0	0	0	0	0

表 1.2: 量子ウォークの確率分布表.

$t \backslash x$	-5	-4	-3	-2	-1	0	1	2	3	4	5
t	0	0	0	0	0	1	0	0	0	0	0
0	0	0	0	0	$\frac{1}{2}$	0	$\frac{1}{2}$	0	0	0	0
1	0	0	0	0	$\frac{1}{4}$	0	$\frac{2}{4}$	0	$\frac{1}{4}$	0	0
2	0	0	0	$\frac{1}{8}$	0	$\frac{3}{8}$	0	$\frac{3}{8}$	0	$\frac{1}{8}$	0
3	0	0	$\frac{1}{16}$	0	$\frac{6}{16}$	0	$\frac{2}{16}$	0	$\frac{6}{16}$	0	$\frac{1}{16}$
4	$\frac{1}{32}$	0	$\frac{11}{32}$	0	$\frac{4}{32}$	0	$\frac{4}{32}$	0	$\frac{11}{32}$	0	$\frac{1}{32}$
5	0	0	0	0	0	0	0	0	0	0	0

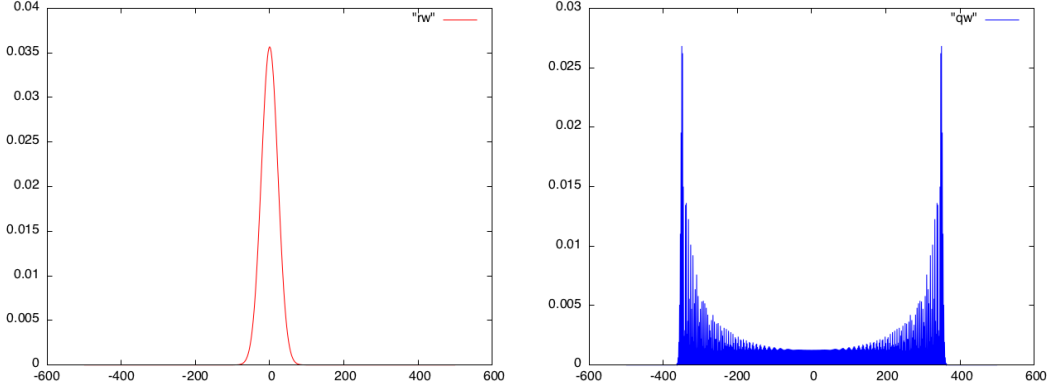


図 1.3: $t = 500$ における確率分布の比較. 左が古典ランダムウォーク, 右が量子ウォーク.

時刻 t における量子ウォークの位置を $X(t)$ とすると, $\frac{X(t)}{t}$ で定義される量子ウォークの擬速度の分布は長時間極限 $t \rightarrow \infty$ でモーメント収束することが, 今野によって示されている [4, 5].

$$\lim_{t \rightarrow \infty} \left\langle \left(\frac{X(t)}{t} \right)^\alpha \right\rangle = \int_{-\infty}^{\infty} dv v^\alpha f(v), \quad \alpha \in \{0, 1, 2, \dots\}. \quad (1.12)$$

なお $f(v)$ は

$$\mu(v; s) = \frac{\sqrt{1 - s^2}}{\pi(1 - v^2)\sqrt{s^2 - v^2}} \mathbb{1}(|v| < |s|), \quad 0 < s < 1, \quad (1.13)$$

$$\mathcal{I}(v; a, b; \alpha, \beta) = 1 - \left(|\alpha|^2 - |\beta|^2 + \frac{ab^* \alpha \beta^* + a^* b \alpha^* \beta}{|a|^2} \right) v \quad (1.14)$$

を用いて

$$f(v) = \mu(v; |a|) \mathcal{I}(v; a, b; \alpha, \beta) \quad (1.15)$$

と表される. 但し, $*$ は複素共役を表し, また

$$\mathbb{1}(\omega) = \begin{cases} 1, & \omega \text{がみたされる場合}, \\ 0, & \text{それ以外の場合} \end{cases}$$

によって指示関数を定義した. すなわち 1 次元格子上の離散時間量子ウォークの極限分布は, (1.13)–(1.15) で定められる確率密度関数 $f(v)$ で与えられる. 特に $\phi = \begin{pmatrix} \frac{1}{\sqrt{2}} \\ \frac{i}{\sqrt{2}} \end{pmatrix}$, $U = \begin{pmatrix} \frac{1}{\sqrt{2}} & \frac{1}{\sqrt{2}} \\ \frac{1}{\sqrt{2}} & -\frac{1}{\sqrt{2}} \end{pmatrix}$ の場合の量子ウォークの確率密度関数を $K(v)$ とすると, この場合には $\alpha = \frac{1}{\sqrt{2}}$, $\beta = \frac{i}{\sqrt{2}}$, $a = b = c = -d = \frac{1}{\sqrt{2}}$ であるから, $s = \frac{1}{\sqrt{2}}$, $\mathcal{I}(v; a, b; \alpha, \beta) = 1$ となり

$$K(v) = \frac{1}{\pi(1 - v^2)\sqrt{1 - 2v^2}} \mathbb{1}\left(|v| < \frac{1}{\sqrt{2}}\right) \quad (1.16)$$

と定まる。これを発見者の名前にちなんで今野関数とよぶことにする。図 1.4 にそのグラフを示した。

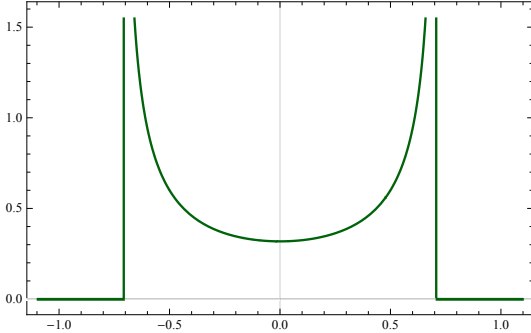


図 1.4: $K(v)$ のグラフ。

1.2 フーリエ解析法

1 次元量子ウォークに対する主要な解析法の一つとして、[6]に基づくフーリエ解析法がある。ここでは、この方法について説明する。最初に、実空間の確率振幅 $\psi(x, t)$ に対応する波数空間の確率振幅を、 $\hat{\psi}(k, t) = \begin{pmatrix} \hat{\varphi}_1(k, t) \\ \hat{\varphi}_2(k, t) \end{pmatrix}$ で表す。フーリエ変換及び逆変換は次のように表される。

$$\hat{\psi}(k, t) = \sum_{x \in \mathbb{Z}} e^{-ikx} \psi(x, t), \quad (1.17)$$

$$\psi(x, t) = \int_{-\pi}^{\pi} \frac{dk}{2\pi} e^{ikx} \hat{\psi}(k, t). \quad (1.18)$$

(1.17) に時間発展の式 (1.6) を適用すると

$$\begin{aligned} \hat{\psi}(k, t+1) &= \sum_{x \in \mathbb{Z}} e^{-ikx} \psi(x, t+1) \\ &= \sum_{x \in \mathbb{Z}} e^{-ikx} \{ \mathbf{Q} \psi(x-1, t) + \mathbf{P} \psi(x+1, t) \} \\ &= e^{-ik} \mathbf{Q} \left[\sum_{x \in \mathbb{Z}} e^{-ik(x-1)} \psi(x-1, t) \right] + e^{ik} \mathbf{P} \left[\sum_{x \in \mathbb{Z}} e^{-ik(x+1)} \psi(x+1, t) \right] \\ &= (\mathbf{e}^{-ik} \mathbf{Q} + \mathbf{e}^{ik} \mathbf{P}) \hat{\psi}(k, t) \\ &= \begin{pmatrix} a e^{ik} & b e^{ik} \\ c e^{-ik} & d e^{-ik} \end{pmatrix} \hat{\psi}(k, t) \\ &= \begin{pmatrix} e^{ik} & 0 \\ 0 & e^{-ik} \end{pmatrix} \mathbf{U} \hat{\psi}(k, t) \end{aligned}$$

となる. このことから, $\mathbf{V}(k) = \begin{pmatrix} e^{ik} & 0 \\ 0 & e^{-ik} \end{pmatrix} \mathbf{U}$ と定義すると, 波数空間では時間発展は

$$\hat{\psi}(k, t+1) = \mathbf{V}(k) \hat{\psi}(k, t) \quad (1.19)$$

で与えられることになる. これより

$$\hat{\psi}(k, t) = \mathbf{V}(k)^t \hat{\psi}(k, 0)$$

となる. 初期条件 (1.3) を (1.17) に代入すると

$$\begin{aligned} \hat{\psi}(k, 0) &= \sum_{x \in \mathbb{Z}} e^{-ikx} \psi(x, 0) \\ &= e^{-ik0} \psi(0, 0) \\ &= \phi \end{aligned}$$

であるから

$$\hat{\psi}(k, t) = \mathbf{V}(k)^t \phi \quad (1.20)$$

となる.

$\mathbf{V}(k)$ の固有値を $\lambda(k)$ 及び $\mu(k)$ とし, 対応する固有ベクトルを $\mathbf{l}(k) = \begin{pmatrix} l_1(k) \\ l_2(k) \end{pmatrix}$ 及び $\mathbf{m}(k) = \begin{pmatrix} m_1(k) \\ m_2(k) \end{pmatrix}$ とする. \mathbf{U} がユニタリ行列だから $\mathbf{V}(k)$ もユニタリ行列である. ゆえに 2 つの固有値 $\lambda(k)$ 及び $\mu(k)$ は絶対値が 1 の複素数となる. また $\mathbf{l}(k)$ 及び $\mathbf{m}(k)$ は正規直交性を持つように選ぶことができる. $\mathbf{l}(k)$ と $\mathbf{m}(k)$ を順番に並べて作られたユニタリ行列 $\mathbf{R}(k) = \begin{pmatrix} \mathbf{l}(k) & \mathbf{m}(k) \end{pmatrix}$ によって $\mathbf{V}(k)$ を対角化すると

$$\mathbf{R}(k)^\dagger \mathbf{V}(k) \mathbf{R}(k) = \begin{pmatrix} \lambda(k) & 0 \\ 0 & \mu(k) \end{pmatrix} \quad (1.21)$$

となる. 但し \dagger はエルミート共役を表す. これより

$$\mathbf{V}(k) = \mathbf{R}(k) \begin{pmatrix} \lambda(k) & 0 \\ 0 & \mu(k) \end{pmatrix} \mathbf{R}(k)^\dagger$$

であるから

$$\begin{aligned}
\mathbf{V}(k)^t &= \mathbf{R}(k) \begin{pmatrix} \lambda(k) & 0 \\ 0 & \mu(k) \end{pmatrix}^t \mathbf{R}(k)^\dagger \\
&= \mathbf{R}(k) \begin{pmatrix} \lambda(k)^t & 0 \\ 0 & \mu(k)^t \end{pmatrix} \mathbf{R}(k)^\dagger \\
&= \begin{pmatrix} \mathbf{l}(k) & \mathbf{m}(k) \end{pmatrix} \begin{pmatrix} \lambda(k)^t & 0 \\ 0 & \mu(k)^t \end{pmatrix} \begin{pmatrix} \mathbf{l}(k)^\dagger \\ \mathbf{m}(k)^\dagger \end{pmatrix} \\
&= \lambda(k)^t \mathbf{l}(k) \mathbf{l}(k)^\dagger + \mu(k)^t \mathbf{m}(k) \mathbf{m}(k)^\dagger
\end{aligned}$$

となる。 (1.20) より

$$\begin{aligned}
\hat{\psi}(k, t) &= \lambda(k)^t \mathbf{l}(k) \mathbf{l}(k)^\dagger \phi + \mu(k)^t \mathbf{m}(k) \mathbf{m}(k)^\dagger \phi \\
&= \lambda(k)^t (\mathbf{l}(k)^\dagger \phi) \mathbf{l}(k) + \mu(k)^t (\mathbf{m}(k)^\dagger \phi) \mathbf{m}(k)
\end{aligned} \tag{1.22}$$

となる。すなわち波数空間の確率振幅は一般に、 $\mathbf{V}(k)$ の固有値及び固有ベクトルと初期の量子ビットで表されることになる。

次に、擬速度 $\frac{X(t)}{t}$ に対し、 α 次モーメントを

$$\left\langle \left(\frac{X(t)}{t} \right)^\alpha \right\rangle = \sum_{x \in \mathbb{Z}} \left(\frac{x}{t} \right)^\alpha \| \psi(x, t) \|^2, \quad \alpha \in \{0, 1, 2, \dots\} \tag{1.23}$$

によって定義する。 (1.18) より

$$\begin{aligned}
\left\langle \left(\frac{X(t)}{t} \right)^\alpha \right\rangle &= \sum_{x \in \mathbb{Z}} \left(\frac{x}{t} \right)^\alpha \left\| \int_{-\pi}^{\pi} \frac{dk}{2\pi} e^{ikx} \hat{\psi}(k, t) \right\|^2 \\
&= \sum_{x \in \mathbb{Z}} \left(\frac{x}{t} \right)^\alpha \int_{-\pi}^{\pi} \frac{dk'}{2\pi} e^{-ik'x} \hat{\psi}(k', t)^\dagger \int_{-\pi}^{\pi} \frac{dk}{2\pi} e^{ikx} \hat{\psi}(k, t) \\
&= \sum_{x \in \mathbb{Z}} \left(\frac{1}{t} \right)^\alpha \int_{-\pi}^{\pi} \frac{dk'}{2\pi} e^{-ik'x} \hat{\psi}(k', t)^\dagger \int_{-\pi}^{\pi} \frac{dk}{2\pi} x^\alpha e^{ikx} \hat{\psi}(k, t) \\
&= \sum_{x \in \mathbb{Z}} \left(\frac{1}{t} \right)^\alpha \int_{-\pi}^{\pi} \frac{dk'}{2\pi} e^{-ik'x} \hat{\psi}(k', t)^\dagger \int_{-\pi}^{\pi} \frac{dk}{2\pi} \left\{ \left(-i \frac{\partial}{\partial k} \right)^\alpha e^{ikx} \right\} \hat{\psi}(k, t)
\end{aligned}$$

となる。部分積分を繰り返すと

$$\int_{-\pi}^{\pi} \frac{dk}{2\pi} \left\{ \left(-i \frac{\partial}{\partial k} \right)^\alpha e^{ikx} \right\} \hat{\psi}(k, t) = \int_{-\pi}^{\pi} \frac{dk}{2\pi} e^{ikx} \left\{ \left(i \frac{\partial}{\partial k} \right)^\alpha \hat{\psi}(k, t) \right\}$$

となるから

$$\begin{aligned}
\left\langle \left(\frac{X(t)}{t} \right)^\alpha \right\rangle &= \sum_{x \in \mathbb{Z}} \left(\frac{1}{t} \right)^\alpha \int_{-\pi}^{\pi} \frac{dk'}{2\pi} e^{-ik'x} \hat{\psi}(k', t)^\dagger \int_{-\pi}^{\pi} \frac{dk}{2\pi} e^{ikx} \left\{ \left(i \frac{\partial}{\partial k} \right)^\alpha \hat{\psi}(k, t) \right\} \\
&= \int_{-\pi}^{\pi} \frac{dk}{2\pi} \int_{-\pi}^{\pi} \frac{dk'}{2\pi} \sum_{x \in \mathbb{Z}} e^{i(k-k')x} \hat{\psi}(k', t)^\dagger \left\{ \left(i \frac{\partial}{\partial k} \right)^\alpha \hat{\psi}(k, t) \right\} \\
&= \int_{-\pi}^{\pi} \frac{dk}{2\pi} \int_{-\pi}^{\pi} \frac{dk'}{2\pi} 2\pi \delta(k - k') \hat{\psi}(k', t)^\dagger \left\{ \left(i \frac{\partial}{\partial k} \right)^\alpha \hat{\psi}(k, t) \right\} \\
&= \int_{-\pi}^{\pi} \frac{dk}{2\pi} \hat{\psi}(k, t)^\dagger \left(i \frac{\partial}{\partial k} \right)^\alpha \hat{\psi}(k, t)
\end{aligned} \tag{1.24}$$

となる。 (1.22) より、長時間 $t \rightarrow \infty$ において

$$\begin{aligned}
\left(i \frac{\partial}{\partial k} \right)^\alpha \hat{\psi}(k, t) &= \left(i \frac{\partial}{\partial k} \right)^\alpha \left\{ \lambda(k)^t (\mathbf{l}(k)^\dagger \boldsymbol{\phi}) \mathbf{l}(k) + \mu(k)^t (\mathbf{m}(k)^\dagger \boldsymbol{\phi}) \mathbf{m}(k) \right\} \\
&= \left(i \frac{\partial}{\partial k} \right)^\alpha \left\{ t^\alpha \lambda(k)^{t-\alpha} \left(\frac{d\lambda(k)}{dk} \right)^\alpha (\mathbf{l}(k)^\dagger \boldsymbol{\phi}) \mathbf{l}(k) \right. \\
&\quad \left. + t^\alpha \mu(k)^{t-\alpha} \left(\frac{d\mu(k)}{dk} \right)^\alpha (\mathbf{m}(k)^\dagger \boldsymbol{\phi}) \mathbf{m}(k) + \mathcal{O}(t^{\alpha-1}) \right\} \\
&= \lambda(k)^{t-\alpha} \left(i \frac{d\lambda(k)}{dk} \right)^\alpha (\mathbf{l}(k)^\dagger \boldsymbol{\phi}) \mathbf{l}(k) \\
&\quad + \mu(k)^{t-\alpha} \left(i \frac{d\mu(k)}{dk} \right)^\alpha (\mathbf{m}(k)^\dagger \boldsymbol{\phi}) \mathbf{m}(k) + \mathcal{O}\left(\frac{1}{t}\right)
\end{aligned}$$

と評価できる。他方

$$\begin{aligned}
\hat{\psi}(k, t)^\dagger &= (\lambda(k)^t)^* (\mathbf{l}(k)^\dagger \boldsymbol{\phi})^* \mathbf{l}(k)^\dagger + (\mu(k)^t)^* (\mathbf{m}(k)^\dagger \boldsymbol{\phi})^* \mathbf{m}(k)^\dagger \\
&= (\lambda(k)^*)^t (\mathbf{l}(k)^\dagger \boldsymbol{\phi})^* \mathbf{l}(k)^\dagger + (\mu(k)^*)^t (\mathbf{m}(k)^\dagger \boldsymbol{\phi})^* \mathbf{m}(k)^\dagger
\end{aligned}$$

であるので両者を掛け合わせることにより

$$\begin{aligned}
\hat{\psi}(k, t)^\dagger \left(i \frac{\partial}{\partial k} \right)^\alpha \hat{\psi}(k, t) &= \left\{ (\lambda(k)^*)^t (\mathbf{l}(k)^\dagger \boldsymbol{\phi})^* \mathbf{l}(k)^\dagger + (\mu(k)^*)^t (\mathbf{m}(k)^\dagger \boldsymbol{\phi})^* \mathbf{m}(k)^\dagger \right\} \\
&\quad \times \left\{ \lambda(k)^{t-\alpha} \left(i \frac{d\lambda(k)}{dk} \right)^\alpha (\mathbf{l}(k)^\dagger \boldsymbol{\phi}) \mathbf{l}(k) \right. \\
&\quad \left. + \mu(k)^{t-\alpha} \left(i \frac{d\mu(k)}{dk} \right)^\alpha (\mathbf{m}(k)^\dagger \boldsymbol{\phi}) \mathbf{m}(k) + \mathcal{O}\left(\frac{1}{t}\right) \right\}
\end{aligned}$$

という長時間評価が得られる。 $\lambda(k)$ 及び $\mu(k)$ は絶対値が 1 の複素数であり、 $\mathbf{l}(k)$ 及び $\mathbf{m}(k)$ は正規直交性を持つから

$$\begin{aligned}
&\hat{\psi}(k, t)^\dagger \left(i \frac{\partial}{\partial k} \right)^\alpha \hat{\psi}(k, t) \\
&= |\mathbf{l}(k)^\dagger \boldsymbol{\phi}|^2 \left(\frac{i}{\lambda(k)} \frac{d\lambda(k)}{dk} \right)^\alpha + |\mathbf{m}(k)^\dagger \boldsymbol{\phi}|^2 \left(\frac{i}{\mu(k)} \frac{d\mu(k)}{dk} \right)^\alpha + \mathcal{O}\left(\frac{1}{t}\right)
\end{aligned} \tag{1.25}$$

となる. (1.24), (1.25) より

$$\begin{aligned} & \left\langle \left(\frac{X(t)}{t} \right)^\alpha \right\rangle \\ &= \int_{-\pi}^{\pi} \frac{dk}{2\pi} \left\{ |\boldsymbol{l}(k)^\dagger \boldsymbol{\phi}|^2 \left(\frac{\mathbf{i}}{\lambda(k)} \frac{d\lambda(k)}{dk} \right)^\alpha + |\boldsymbol{m}(k)^\dagger \boldsymbol{\phi}|^2 \left(\frac{\mathbf{i}}{\mu(k)} \frac{d\mu(k)}{dk} \right)^\alpha \right\} + \mathcal{O}\left(\frac{1}{t}\right) \end{aligned}$$

である. よって

$$\begin{aligned} & \lim_{t \rightarrow \infty} \left\langle \left(\frac{X(t)}{t} \right)^\alpha \right\rangle \\ &= \int_{-\pi}^{\pi} \frac{dk}{2\pi} \left\{ |\boldsymbol{l}(k)^\dagger \boldsymbol{\phi}|^2 \left(\frac{\mathbf{i}}{\lambda(k)} \frac{d\lambda(k)}{dk} \right)^\alpha + |\boldsymbol{m}(k)^\dagger \boldsymbol{\phi}|^2 \left(\frac{\mathbf{i}}{\mu(k)} \frac{d\mu(k)}{dk} \right)^\alpha \right\} \quad (1.26) \end{aligned}$$

となり, 右辺に時間依存性が無くなる. 後は $k \mapsto v$ へ変数変換することによって, (1.12)–(1.15) を導くことができる [1, 2, 6].

第2章 本論

2.1 方法

ボソンとフェルミオンという2種類の2次元量子ウォークの長時間極限分布を導出する。まず x 方向と y 方向に、互いに独立な1次元量子ウォークをそれぞれ一つずつ用意する。この二つの量子ウォークに対して、共通の量子ビット ϕ 及び量子コイン U を用いるものとする。その結果、確率振幅 ψ も共通となる。つまり、我々が考える2次元上の量子ウォーカーは、 x 方向と y 方向という互いに独立な成分に分けて考えると、同種2粒子系とみなすことができる。次に

$$\psi(x, t) = \begin{pmatrix} \varphi_1(x, t) \\ \varphi_2(x, t) \end{pmatrix}, \quad \psi(y, t) = \begin{pmatrix} \varphi_1(y, t) \\ \varphi_2(y, t) \end{pmatrix} \quad (2.1)$$

という二つの確率振幅の成分同士を組み合わせとして、次のような2種類($\mathbf{P} = \mathbf{B}, \mathbf{F}$)の方法を考えることにする。

$$\Psi_{\mathbf{P}}(x, y, t) = \varphi_1(x, t) \varphi_2(y, t) \pm \varphi_2(x, t) \varphi_1(y, t). \quad (2.2)$$

但し $\mathbf{P} = \mathbf{B}$ のとき複号の上側を、 $\mathbf{P} = \mathbf{F}$ のとき複号の下側を探るものとする。 x と y の交換に対し $\Psi_{\mathbf{B}}(x, y, t)$ の符号は不变となる。対称性を示すこの確率振幅を用いた量子ウォークをボソン模型とする。一方で x と y の交換に対し $\Psi_{\mathbf{F}}(x, y, t)$ の符号は変化する。反対称性を示すこの確率振幅を用いた量子ウォークをフェルミオン模型とする。図2.1に数値計算による $|\Psi_{\mathbf{P}}(x, y, t)|^2$ の確率分布をプロットした。

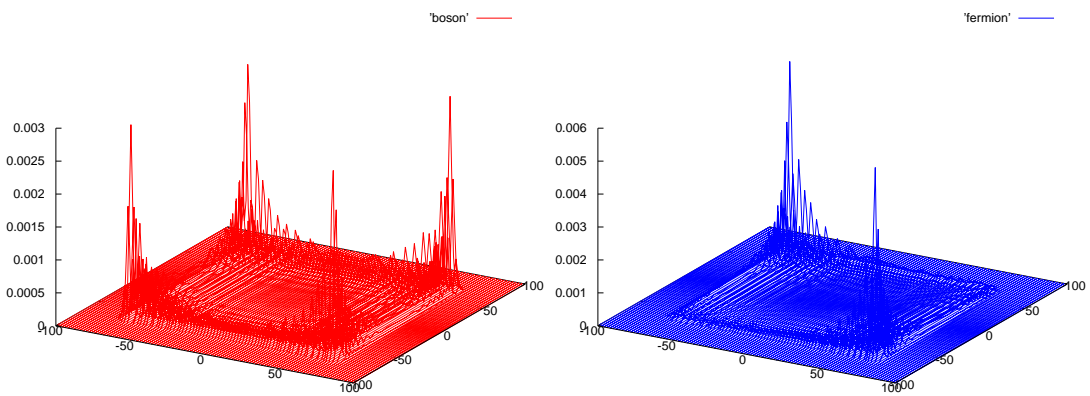


図 2.1: $t = 100$ における確率分布の比較。左がボソン模型、右がフェルミオン模型。

ここからは1.2節で解説した1次元量子ウォークに対するフーリエ解析法を、ボソン模型とフェルミオン模型という2種類の2次元量子ウォークに応用する。まず x 方向の擬速度 $\frac{X_{\mathbf{P}}(t)}{t}$ と y 方向の擬速度 $\frac{Y_{\mathbf{P}}(t)}{t}$ に対し、結合 (α, β) 次モーメントを

$$\begin{aligned} & \left\langle \left(\frac{X_{\mathbf{P}}(t)}{t}\right)^{\alpha} \left(\frac{Y_{\mathbf{P}}(t)}{t}\right)^{\beta} + \left(\frac{X_{\mathbf{P}}(t)}{t}\right)^{\beta} \left(\frac{Y_{\mathbf{P}}(t)}{t}\right)^{\alpha} \right\rangle \\ &= \sum_{(x,y) \in \mathbb{Z}^2} \left\{ \left(\frac{x}{t}\right)^{\alpha} \left(\frac{y}{t}\right)^{\beta} + \left(\frac{x}{t}\right)^{\beta} \left(\frac{y}{t}\right)^{\alpha} \right\} |\Psi_{\mathbf{P}}(x, y, t)|^2, \quad (2.3) \end{aligned}$$

$$\alpha, \beta \in \{0, 1, 2, \dots\}$$

によって定義する。但しここでは同種2粒子系を考えているため、オブザーバブルである結合モーメントは粒子の入れ替えに対して不変となるように定義した。(2.2)より

$$\begin{aligned} & \left\langle \left(\frac{X_{\mathbf{P}}(t)}{t}\right)^{\alpha} \left(\frac{Y_{\mathbf{P}}(t)}{t}\right)^{\beta} + \left(\frac{X_{\mathbf{P}}(t)}{t}\right)^{\beta} \left(\frac{Y_{\mathbf{P}}(t)}{t}\right)^{\alpha} \right\rangle \\ &= \sum_{(x,y) \in \mathbb{Z}^2} \left\{ \left(\frac{x}{t}\right)^{\alpha} \left(\frac{y}{t}\right)^{\beta} + \left(\frac{x}{t}\right)^{\beta} \left(\frac{y}{t}\right)^{\alpha} \right\} |\varphi_1(x, t) \varphi_2(y, t) \pm \varphi_2(x, t) \varphi_1(y, t)|^2 \\ &= \sum_{(x,y) \in \mathbb{Z}^2} \left(\frac{x}{t}\right)^{\alpha} \left(\frac{y}{t}\right)^{\beta} \varphi_1(x, t)^* \varphi_2(y, t)^* \varphi_1(x, t) \varphi_2(y, t) \\ &\quad + \sum_{(x,y) \in \mathbb{Z}^2} \left(\frac{x}{t}\right)^{\beta} \left(\frac{y}{t}\right)^{\alpha} \varphi_1(x, t)^* \varphi_2(y, t)^* \varphi_1(x, t) \varphi_2(y, t) \\ &\pm \sum_{(x,y) \in \mathbb{Z}^2} \left(\frac{x}{t}\right)^{\alpha} \left(\frac{y}{t}\right)^{\beta} \varphi_1(x, t)^* \varphi_2(y, t)^* \varphi_2(x, t) \varphi_1(y, t) \\ &\quad \pm \sum_{(x,y) \in \mathbb{Z}^2} \left(\frac{x}{t}\right)^{\beta} \left(\frac{y}{t}\right)^{\alpha} \varphi_1(x, t)^* \varphi_2(y, t)^* \varphi_2(x, t) \varphi_1(y, t) \\ &\pm \sum_{(x,y) \in \mathbb{Z}^2} \left(\frac{x}{t}\right)^{\alpha} \left(\frac{y}{t}\right)^{\beta} \varphi_2(x, t)^* \varphi_1(y, t)^* \varphi_1(x, t) \varphi_2(y, t) \\ &\quad \pm \sum_{(x,y) \in \mathbb{Z}^2} \left(\frac{x}{t}\right)^{\beta} \left(\frac{y}{t}\right)^{\alpha} \varphi_2(x, t)^* \varphi_1(y, t)^* \varphi_1(x, t) \varphi_2(y, t) \\ &+ \sum_{(x,y) \in \mathbb{Z}^2} \left(\frac{x}{t}\right)^{\alpha} \left(\frac{y}{t}\right)^{\beta} \varphi_2(x, t)^* \varphi_1(y, t)^* \varphi_2(x, t) \varphi_1(y, t) \\ &\quad + \sum_{(x,y) \in \mathbb{Z}^2} \left(\frac{x}{t}\right)^{\beta} \left(\frac{y}{t}\right)^{\alpha} \varphi_2(x, t)^* \varphi_1(y, t)^* \varphi_2(x, t) \varphi_1(y, t) \end{aligned}$$

となる。フーリエ逆変換(1.18)を x 方向及び y 方向に適用すると

$$\psi(x, t) = \int_{-\pi}^{\pi} \frac{dk_x}{2\pi} e^{ik_x x} \hat{\psi}(k_x, t), \quad (2.4)$$

$$\psi(y, t) = \int_{-\pi}^{\pi} \frac{dk_y}{2\pi} e^{ik_y y} \hat{\psi}(k_y, t) \quad (2.5)$$

となる。但し $x \leftrightarrow k_x$, $y \leftrightarrow k_y$ という対応をとっている。(2.4), (2.5)を成分に分けると

$$\begin{aligned} \varphi_1(x, t) &= \int_{-\pi}^{\pi} \frac{dk_x}{2\pi} e^{ik_x x} \hat{\varphi}_1(k_x, t), \\ \varphi_2(x, t) &= \int_{-\pi}^{\pi} \frac{dk_x}{2\pi} e^{ik_x x} \hat{\varphi}_2(k_x, t), \\ \varphi_1(y, t) &= \int_{-\pi}^{\pi} \frac{dk_y}{2\pi} e^{ik_y y} \hat{\varphi}_1(k_y, t), \\ \varphi_2(y, t) &= \int_{-\pi}^{\pi} \frac{dk_y}{2\pi} e^{ik_y y} \hat{\varphi}_2(k_y, t) \end{aligned}$$

となる。これらを用いると結合モーメントは

$$\begin{aligned} &\left\langle \left(\frac{X_{\mathbf{P}}(t)}{t} \right)^{\alpha} \left(\frac{Y_{\mathbf{P}}(t)}{t} \right)^{\beta} + \left(\frac{X_{\mathbf{P}}(t)}{t} \right)^{\beta} \left(\frac{Y_{\mathbf{P}}(t)}{t} \right)^{\alpha} \right\rangle \\ &= \int_{-\pi}^{\pi} \frac{dk_x}{2\pi} \int_{-\pi}^{\pi} \frac{dk_y}{2\pi} \{ \hat{\varphi}_1(k_x, t)^* \hat{\varphi}_2(k_y, t)^* \pm \hat{\varphi}_2(k_x, t)^* \hat{\varphi}_1(k_y, t)^* \} \\ &\quad \times \left[\left\{ \left(\frac{\mathbf{i}}{t} \frac{\partial}{\partial k_x} \right)^{\alpha} \left(\frac{\mathbf{i}}{t} \frac{\partial}{\partial k_y} \right)^{\beta} + \left(\frac{\mathbf{i}}{t} \frac{\partial}{\partial k_x} \right)^{\beta} \left(\frac{\mathbf{i}}{t} \frac{\partial}{\partial k_y} \right)^{\alpha} \right\} \right. \\ &\quad \left. \times \{ \hat{\varphi}_1(k_x, t) \hat{\varphi}_2(k_y, t) \pm \hat{\varphi}_2(k_x, t) \hat{\varphi}_1(k_y, t) \} \right] \end{aligned} \quad (2.6)$$

と書き直せる。(1.22)の表現を x 方向及び y 方向に適用すると

$$\hat{\psi}(k_x, t) = \lambda(k_x)^t (\mathbf{l}(k_x)^\dagger \boldsymbol{\phi}) \mathbf{l}(k_x) + \mu(k_x)^t (\mathbf{m}(k_x)^\dagger \boldsymbol{\phi}) \mathbf{m}(k_x), \quad (2.7)$$

$$\hat{\psi}(k_y, t) = \lambda(k_y)^t (\mathbf{l}(k_y)^\dagger \boldsymbol{\phi}) \mathbf{l}(k_y) + \mu(k_y)^t (\mathbf{m}(k_y)^\dagger \boldsymbol{\phi}) \mathbf{m}(k_y) \quad (2.8)$$

となる。(2.7), (2.8)を成分に分けると

$$\hat{\varphi}_1(k_x, t) = \lambda(k_x)^t (\mathbf{l}(k_x)^\dagger \boldsymbol{\phi}) l_1(k_x) + \mu(k_x)^t (\mathbf{m}(k_x)^\dagger \boldsymbol{\phi}) m_1(k_x),$$

$$\hat{\varphi}_2(k_x, t) = \lambda(k_x)^t (\mathbf{l}(k_x)^\dagger \boldsymbol{\phi}) l_2(k_x) + \mu(k_x)^t (\mathbf{m}(k_x)^\dagger \boldsymbol{\phi}) m_2(k_x),$$

$$\hat{\varphi}_1(k_y, t) = \lambda(k_y)^t (\mathbf{l}(k_y)^\dagger \boldsymbol{\phi}) l_1(k_y) + \mu(k_y)^t (\mathbf{m}(k_y)^\dagger \boldsymbol{\phi}) m_1(k_y),$$

$$\hat{\varphi}_2(k_y, t) = \lambda(k_y)^t (\mathbf{l}(k_y)^\dagger \boldsymbol{\phi}) l_2(k_y) + \mu(k_y)^t (\mathbf{m}(k_y)^\dagger \boldsymbol{\phi}) m_2(k_y)$$

となる。これらを用いると (2.6) の被積分関数は

$$\begin{aligned}
& \left\{ \left(\frac{\mathbf{i}}{t} \frac{\partial}{\partial k_x} \right)^\alpha \left(\frac{\mathbf{i}}{t} \frac{\partial}{\partial k_y} \right)^\beta + \left(\frac{\mathbf{i}}{t} \frac{\partial}{\partial k_x} \right)^\beta \left(\frac{\mathbf{i}}{t} \frac{\partial}{\partial k_y} \right)^\alpha \right\} \{ \hat{\varphi}_1(k_x, t) \hat{\varphi}_2(k_y, t) \pm \hat{\varphi}_2(k_x, t) \hat{\varphi}_1(k_y, t) \} \\
&= \lambda(k_x)^t \lambda(k_y)^t \left\{ \left(\frac{\mathbf{i}}{\lambda(k_x)} \frac{d\lambda(k_x)}{dk_x} \right)^\alpha \left(\frac{\mathbf{i}}{\lambda(k_y)} \frac{d\lambda(k_y)}{dk_y} \right)^\beta + \left(\frac{\mathbf{i}}{\lambda(k_x)} \frac{d\lambda(k_x)}{dk_x} \right)^\beta \left(\frac{\mathbf{i}}{\lambda(k_y)} \frac{d\lambda(k_y)}{dk_y} \right)^\alpha \right\} \\
&\quad (\mathbf{l}(k_x)^\dagger \boldsymbol{\phi})(\mathbf{l}(k_y)^\dagger \boldsymbol{\phi}) \{ l_1(k_x) l_2(k_y) \pm l_2(k_x) l_1(k_y) \} \\
&+ \lambda(k_x)^t \mu(k_y)^t \left\{ \left(\frac{\mathbf{i}}{\lambda(k_x)} \frac{d\lambda(k_x)}{dk_x} \right)^\alpha \left(\frac{\mathbf{i}}{\mu(k_y)} \frac{d\mu(k_y)}{dk_y} \right)^\beta + \left(\frac{\mathbf{i}}{\lambda(k_x)} \frac{d\lambda(k_x)}{dk_x} \right)^\beta \left(\frac{\mathbf{i}}{\mu(k_y)} \frac{d\mu(k_y)}{dk_y} \right)^\alpha \right\} \\
&\quad (\mathbf{l}(k_x)^\dagger \boldsymbol{\phi})(\mathbf{m}(k_y)^\dagger \boldsymbol{\phi}) \{ l_1(k_x) m_2(k_y) \pm l_2(k_x) m_1(k_y) \} \\
&+ \mu(k_x)^t \lambda(k_y)^t \left\{ \left(\frac{\mathbf{i}}{\mu(k_x)} \frac{d\mu(k_x)}{dk_x} \right)^\alpha \left(\frac{\mathbf{i}}{\lambda(k_y)} \frac{d\lambda(k_y)}{dk_y} \right)^\beta + \left(\frac{\mathbf{i}}{\mu(k_x)} \frac{d\mu(k_x)}{dk_x} \right)^\beta \left(\frac{\mathbf{i}}{\lambda(k_y)} \frac{d\lambda(k_y)}{dk_y} \right)^\alpha \right\} \\
&\quad (\mathbf{m}(k_x)^\dagger \boldsymbol{\phi})(\mathbf{l}(k_y)^\dagger \boldsymbol{\phi}) \{ m_1(k_x) l_2(k_y) \pm m_2(k_x) l_1(k_y) \} \\
&+ \mu(k_x)^t \mu(k_y)^t \left\{ \left(\frac{\mathbf{i}}{\mu(k_x)} \frac{d\mu(k_x)}{dk_x} \right)^\alpha \left(\frac{\mathbf{i}}{\mu(k_y)} \frac{d\mu(k_y)}{dk_y} \right)^\beta + \left(\frac{\mathbf{i}}{\mu(k_x)} \frac{d\mu(k_x)}{dk_x} \right)^\beta \left(\frac{\mathbf{i}}{\mu(k_y)} \frac{d\mu(k_y)}{dk_y} \right)^\alpha \right\} \\
&\quad (\mathbf{m}(k_x)^\dagger \boldsymbol{\phi})(\mathbf{m}(k_y)^\dagger \boldsymbol{\phi}) \{ m_1(k_x) m_2(k_y) \pm m_2(k_x) m_1(k_y) \} \\
&+ \mathcal{O}\left(\frac{1}{t}\right)
\end{aligned} \tag{2.9}$$

となり、また

$$\begin{aligned}
& \hat{\varphi}_1(k_x, t)^* \hat{\varphi}_2(k_y, t)^* \pm \hat{\varphi}_2(k_x, t)^* \hat{\varphi}_1(k_y, t)^* \\
&= (\lambda(k_x)^*)^t (\lambda(k_y)^*)^t (\mathbf{l}(k_x)^\dagger \boldsymbol{\phi})^* (\mathbf{l}(k_y)^\dagger \boldsymbol{\phi})^* \{ l_1(k_x)^* l_2(k_y)^* \pm l_2(k_x)^* l_1(k_y)^* \} \\
&+ (\lambda(k_x)^*)^t (\mu(k_y)^*)^t (\mathbf{l}(k_x)^\dagger \boldsymbol{\phi})^* (\mathbf{m}(k_y)^\dagger \boldsymbol{\phi})^* \{ l_1(k_x)^* m_2(k_y)^* \pm l_2(k_x)^* m_1(k_y)^* \} \\
&+ (\mu(k_x)^*)^t (\lambda(k_y)^*)^t (\mathbf{m}(k_x)^\dagger \boldsymbol{\phi})^* (\mathbf{l}(k_y)^\dagger \boldsymbol{\phi})^* \{ m_1(k_x)^* l_2(k_y)^* \pm m_2(k_x)^* l_1(k_y)^* \} \\
&+ (\mu(k_x)^*)^t (\mu(k_y)^*)^t (\mathbf{m}(k_x)^\dagger \boldsymbol{\phi})^* (\mathbf{m}(k_y)^\dagger \boldsymbol{\phi})^* \{ m_1(k_x)^* m_2(k_y)^* \pm m_2(k_x)^* m_1(k_y)^* \}
\end{aligned} \tag{2.10}$$

となる。

(2.10), (2.9), (2.6) より結合モーメントは

$$\begin{aligned}
& \left\langle \left(\frac{X_{\mathbf{P}}(t)}{t} \right)^{\alpha} \left(\frac{Y_{\mathbf{P}}(t)}{t} \right)^{\beta} + \left(\frac{X_{\mathbf{P}}(t)}{t} \right)^{\beta} \left(\frac{Y_{\mathbf{P}}(t)}{t} \right)^{\alpha} \right\rangle \\
&= \int_{-\pi}^{\pi} \frac{dk_x}{2\pi} \int_{-\pi}^{\pi} \frac{dk_y}{2\pi} \left\{ \left(\frac{\mathbf{i}}{\lambda(k_x)} \frac{d\lambda(k_x)}{dk_x} \right)^{\alpha} \left(\frac{\mathbf{i}}{\lambda(k_y)} \frac{d\lambda(k_y)}{dk_y} \right)^{\beta} + \left(\frac{\mathbf{i}}{\lambda(k_x)} \frac{d\lambda(k_x)}{dk_x} \right)^{\beta} \left(\frac{\mathbf{i}}{\lambda(k_y)} \frac{d\lambda(k_y)}{dk_y} \right)^{\alpha} \right\} \\
&\quad \times |l(k_x)^\dagger \phi|^2 |l(k_y)^\dagger \phi|^2 \{l_1(k_x)^* l_2(k_y)^* \pm l_2(k_x)^* l_1(k_y)^*\} \{l_1(k_x) l_2(k_y) \pm l_2(k_x) l_1(k_y)\} \\
&+ \int_{-\pi}^{\pi} \frac{dk_x}{2\pi} \int_{-\pi}^{\pi} \frac{dk_y}{2\pi} (\lambda(k_y)^*)^t \mu(k_y)^t \left\{ \left(\frac{\mathbf{i}}{\lambda(k_x)} \frac{d\lambda(k_x)}{dk_x} \right)^{\alpha} \left(\frac{\mathbf{i}}{\mu(k_y)} \frac{d\mu(k_y)}{dk_y} \right)^{\beta} + \left(\frac{\mathbf{i}}{\lambda(k_x)} \frac{d\lambda(k_x)}{dk_x} \right)^{\beta} \left(\frac{\mathbf{i}}{\mu(k_y)} \frac{d\mu(k_y)}{dk_y} \right)^{\alpha} \right\} \\
&\quad \times |l(k_x)^\dagger \phi|^2 (l(k_y)^\dagger \phi)^* (\mathbf{m}(k_y)^\dagger \phi) \{l_1(k_x)^* l_2(k_y)^* \pm l_2(k_x)^* l_1(k_y)^*\} \{l_1(k_x) m_2(k_y) \pm l_2(k_x) m_1(k_y)\} \\
&+ \int_{-\pi}^{\pi} \frac{dk_x}{2\pi} \int_{-\pi}^{\pi} \frac{dk_y}{2\pi} (\lambda(k_x)^*)^t \mu(k_x)^t \left\{ \left(\frac{\mathbf{i}}{\mu(k_x)} \frac{d\mu(k_x)}{dk_x} \right)^{\alpha} \left(\frac{\mathbf{i}}{\lambda(k_y)} \frac{d\lambda(k_y)}{dk_y} \right)^{\beta} + \left(\frac{\mathbf{i}}{\mu(k_x)} \frac{d\mu(k_x)}{dk_x} \right)^{\beta} \left(\frac{\mathbf{i}}{\lambda(k_y)} \frac{d\lambda(k_y)}{dk_y} \right)^{\alpha} \right\} \\
&\quad \times (l(k_x)^\dagger \phi)^* (\mathbf{m}(k_x)^\dagger \phi) |l(k_y)^\dagger \phi|^2 \{l_1(k_x)^* l_2(k_y)^* \pm l_2(k_x)^* l_1(k_y)^*\} \{m_1(k_x) l_2(k_y) \pm m_2(k_x) l_1(k_y)\} \\
&+ \int_{-\pi}^{\pi} \frac{dk_x}{2\pi} \int_{-\pi}^{\pi} \frac{dk_y}{2\pi} (\lambda(k_x)^*)^t (\lambda(k_y)^*)^t \mu(k_x)^t \mu(k_y)^t \\
&\quad \times \left\{ \left(\frac{\mathbf{i}}{\mu(k_x)} \frac{d\mu(k_x)}{dk_x} \right)^{\alpha} \left(\frac{\mathbf{i}}{\mu(k_y)} \frac{d\mu(k_y)}{dk_y} \right)^{\beta} + \left(\frac{\mathbf{i}}{\mu(k_x)} \frac{d\mu(k_x)}{dk_x} \right)^{\beta} \left(\frac{\mathbf{i}}{\mu(k_y)} \frac{d\mu(k_y)}{dk_y} \right)^{\alpha} \right\} \\
&\quad \times (l(k_x)^\dagger \phi)^* (\mathbf{m}(k_x)^\dagger \phi) (l(k_y)^\dagger \phi)^* (\mathbf{m}(k_y)^\dagger \phi) \{l_1(k_x)^* l_2(k_y)^* \pm l_2(k_x)^* l_1(k_y)^*\} \{m_1(k_x) m_2(k_y) \pm m_2(k_x) m_1(k_y)\} \\
&+ \int_{-\pi}^{\pi} \frac{dk_x}{2\pi} \int_{-\pi}^{\pi} \frac{dk_y}{2\pi} (\mu(k_y)^*)^t \lambda(k_y)^t \left\{ \left(\frac{\mathbf{i}}{\lambda(k_x)} \frac{d\lambda(k_x)}{dk_x} \right)^{\alpha} \left(\frac{\mathbf{i}}{\lambda(k_y)} \frac{d\lambda(k_y)}{dk_y} \right)^{\beta} + \left(\frac{\mathbf{i}}{\lambda(k_x)} \frac{d\lambda(k_x)}{dk_x} \right)^{\beta} \left(\frac{\mathbf{i}}{\lambda(k_y)} \frac{d\lambda(k_y)}{dk_y} \right)^{\alpha} \right\} \\
&\quad \times |l(k_x)^\dagger \phi|^2 (\mathbf{m}(k_y)^\dagger \phi)^* (l(k_y)^\dagger \phi) \{l_1(k_x)^* m_2(k_y)^* \pm l_2(k_x)^* m_1(k_y)^*\} \{l_1(k_x) l_2(k_y) \pm l_2(k_x) l_1(k_y)\} \\
&+ \int_{-\pi}^{\pi} \frac{dk_x}{2\pi} \int_{-\pi}^{\pi} \frac{dk_y}{2\pi} (\lambda(k_x)^*)^t \mu(k_x)^t (\mu(k_y)^*)^t \lambda(k_y)^t \\
&\quad \times \left\{ \left(\frac{\mathbf{i}}{\mu(k_x)} \frac{d\mu(k_x)}{dk_x} \right)^{\alpha} \left(\frac{\mathbf{i}}{\lambda(k_y)} \frac{d\lambda(k_y)}{dk_y} \right)^{\beta} + \left(\frac{\mathbf{i}}{\mu(k_x)} \frac{d\mu(k_x)}{dk_x} \right)^{\beta} \left(\frac{\mathbf{i}}{\lambda(k_y)} \frac{d\lambda(k_y)}{dk_y} \right)^{\alpha} \right\} \\
&\quad \times (l(k_x)^\dagger \phi)^* (\mathbf{m}(k_x)^\dagger \phi) (\mathbf{m}(k_y)^\dagger \phi)^* (l(k_y)^\dagger \phi) \{l_1(k_x)^* m_2(k_y)^* \pm l_2(k_x)^* m_1(k_y)^*\} \{m_1(k_x) l_2(k_y) \pm m_2(k_x) l_1(k_y)\} \\
&+ \int_{-\pi}^{\pi} \frac{dk_x}{2\pi} \int_{-\pi}^{\pi} \frac{dk_y}{2\pi} (\lambda(k_x)^*)^t \mu(k_x)^t \left\{ \left(\frac{\mathbf{i}}{\mu(k_x)} \frac{d\mu(k_x)}{dk_x} \right)^{\alpha} \left(\frac{\mathbf{i}}{\mu(k_y)} \frac{d\mu(k_y)}{dk_y} \right)^{\beta} + \left(\frac{\mathbf{i}}{\mu(k_x)} \frac{d\mu(k_x)}{dk_x} \right)^{\beta} \left(\frac{\mathbf{i}}{\mu(k_y)} \frac{d\mu(k_y)}{dk_y} \right)^{\alpha} \right\} \\
&\quad \times (l(k_x)^\dagger \phi)^* (\mathbf{m}(k_x)^\dagger \phi) |\mathbf{m}(k_y)^\dagger \phi|^2 \{l_1(k_x)^* m_2(k_y)^* \pm l_2(k_x)^* m_1(k_y)^*\} \{m_1(k_x) m_2(k_y) \pm m_2(k_x) m_1(k_y)\} \\
&+ \int_{-\pi}^{\pi} \frac{dk_x}{2\pi} \int_{-\pi}^{\pi} \frac{dk_y}{2\pi} (\mu(k_x)^*)^t \lambda(k_x)^t \left\{ \left(\frac{\mathbf{i}}{\lambda(k_x)} \frac{d\lambda(k_x)}{dk_x} \right)^{\alpha} \left(\frac{\mathbf{i}}{\lambda(k_y)} \frac{d\lambda(k_y)}{dk_y} \right)^{\beta} + \left(\frac{\mathbf{i}}{\lambda(k_x)} \frac{d\lambda(k_x)}{dk_x} \right)^{\beta} \left(\frac{\mathbf{i}}{\lambda(k_y)} \frac{d\lambda(k_y)}{dk_y} \right)^{\alpha} \right\} \\
&\quad \times (\mathbf{m}(k_x)^\dagger \phi)^* (l(k_x)^\dagger \phi) |l(k_y)^\dagger \phi|^2 \{m_1(k_x)^* l_2(k_y)^* \pm m_2(k_x)^* l_1(k_y)^*\} \{l_1(k_x) l_2(k_y) \pm l_2(k_x) l_1(k_y)\}
\end{aligned}$$

$$\begin{aligned}
& + \int_{-\pi}^{\pi} \frac{dk_x}{2\pi} \int_{-\pi}^{\pi} \frac{dk_y}{2\pi} (\mu(k_x)^*)^t \lambda(k_x)^t (\lambda(k_y)^*)^t \mu(k_y)^t \\
& \times \left\{ \left(\frac{\mathbf{i}}{\lambda(k_x)} \frac{d\lambda(k_x)}{dk_x} \right)^\alpha \left(\frac{\mathbf{i}}{\mu(k_y)} \frac{d\mu(k_y)}{dk_y} \right)^\beta + \left(\frac{\mathbf{i}}{\lambda(k_x)} \frac{d\lambda(k_x)}{dk_x} \right)^\beta \left(\frac{\mathbf{i}}{\mu(k_y)} \frac{d\mu(k_y)}{dk_y} \right)^\alpha \right\} \\
& \times (\mathbf{m}(k_x)^\dagger \phi)^* (\mathbf{l}(k_x)^\dagger \phi) (\mathbf{l}(k_y)^\dagger \phi)^* (\mathbf{m}(k_y)^\dagger \phi) \{m_1(k_x)^* l_2(k_y)^* \pm m_2(k_x)^* l_1(k_y)^*\} \{l_1(k_x) m_2(k_y) \pm l_2(k_x) m_1(k_y)\} \\
& + \int_{-\pi}^{\pi} \frac{dk_x}{2\pi} \int_{-\pi}^{\pi} \frac{dk_y}{2\pi} \left\{ \left(\frac{\mathbf{i}}{\mu(k_x)} \frac{d\mu(k_x)}{dk_x} \right)^\alpha \left(\frac{\mathbf{i}}{\lambda(k_y)} \frac{d\lambda(k_y)}{dk_y} \right)^\beta + \left(\frac{\mathbf{i}}{\mu(k_x)} \frac{d\mu(k_x)}{dk_x} \right)^\beta \left(\frac{\mathbf{i}}{\lambda(k_y)} \frac{d\lambda(k_y)}{dk_y} \right)^\alpha \right\} \\
& \times |\mathbf{m}(k_x)^\dagger \phi|^2 |\mathbf{l}(k_y)^\dagger \phi|^2 \{m_1(k_x)^* l_2(k_y)^* \pm m_2(k_x)^* l_1(k_y)^*\} \{m_1(k_x) l_2(k_y) \pm m_2(k_x) l_1(k_y)\} \\
& + \int_{-\pi}^{\pi} \frac{dk_x}{2\pi} \int_{-\pi}^{\pi} \frac{dk_y}{2\pi} (\lambda(k_y)^*)^t \mu(k_y)^t \left\{ \left(\frac{\mathbf{i}}{\mu(k_x)} \frac{d\mu(k_x)}{dk_x} \right)^\alpha \left(\frac{\mathbf{i}}{\mu(k_y)} \frac{d\mu(k_y)}{dk_y} \right)^\beta + \left(\frac{\mathbf{i}}{\mu(k_x)} \frac{d\mu(k_x)}{dk_x} \right)^\beta \left(\frac{\mathbf{i}}{\mu(k_y)} \frac{d\mu(k_y)}{dk_y} \right)^\alpha \right\} \\
& \times |\mathbf{m}(k_x)^\dagger \phi|^2 (\mathbf{l}(k_y)^\dagger \phi)^* (\mathbf{m}(k_y)^\dagger \phi) \{m_1(k_x)^* l_2(k_y)^* \pm m_2(k_x)^* l_1(k_y)^*\} \{m_1(k_x) m_2(k_y) \pm m_2(k_x) m_1(k_y)\} \\
& + \int_{-\pi}^{\pi} \frac{dk_x}{2\pi} \int_{-\pi}^{\pi} \frac{dk_y}{2\pi} (\mu(k_x)^*)^t \lambda(k_x)^t \left\{ \left(\frac{\mathbf{i}}{\lambda(k_x)} \frac{d\lambda(k_x)}{dk_x} \right)^\alpha \left(\frac{\mathbf{i}}{\mu(k_y)} \frac{d\mu(k_y)}{dk_y} \right)^\beta + \left(\frac{\mathbf{i}}{\lambda(k_x)} \frac{d\lambda(k_x)}{dk_x} \right)^\beta \left(\frac{\mathbf{i}}{\mu(k_y)} \frac{d\mu(k_y)}{dk_y} \right)^\alpha \right\} \\
& \times (\mathbf{m}(k_x)^\dagger \phi)^* (\mathbf{l}(k_x)^\dagger \phi) |\mathbf{m}(k_y)^\dagger \phi|^2 \{m_1(k_x)^* m_2(k_y)^* \pm m_2(k_x)^* m_1(k_y)^*\} \{l_1(k_x) m_2(k_y) \pm l_2(k_x) m_1(k_y)\} \\
& + \int_{-\pi}^{\pi} \frac{dk_x}{2\pi} \int_{-\pi}^{\pi} \frac{dk_y}{2\pi} (\mu(k_y)^*)^t \lambda(k_y)^t \left\{ \left(\frac{\mathbf{i}}{\mu(k_x)} \frac{d\mu(k_x)}{dk_x} \right)^\alpha \left(\frac{\mathbf{i}}{\lambda(k_y)} \frac{d\lambda(k_y)}{dk_y} \right)^\beta + \left(\frac{\mathbf{i}}{\mu(k_x)} \frac{d\mu(k_x)}{dk_x} \right)^\beta \left(\frac{\mathbf{i}}{\lambda(k_y)} \frac{d\lambda(k_y)}{dk_y} \right)^\alpha \right\} \\
& \times |\mathbf{m}(k_x)^\dagger \phi|^2 (\mathbf{m}(k_y)^\dagger \phi)^* (\mathbf{l}(k_y)^\dagger \phi) \{m_1(k_x)^* m_2(k_y)^* \pm m_2(k_x)^* m_1(k_y)^*\} \{m_1(k_x) l_2(k_y) \pm m_2(k_x) l_1(k_y)\} \\
& + \int_{-\pi}^{\pi} \frac{dk_x}{2\pi} \int_{-\pi}^{\pi} \frac{dk_y}{2\pi} \left\{ \left(\frac{\mathbf{i}}{\mu(k_x)} \frac{d\mu(k_x)}{dk_x} \right)^\alpha \left(\frac{\mathbf{i}}{\mu(k_y)} \frac{d\mu(k_y)}{dk_y} \right)^\beta + \left(\frac{\mathbf{i}}{\mu(k_x)} \frac{d\mu(k_x)}{dk_x} \right)^\beta \left(\frac{\mathbf{i}}{\mu(k_y)} \frac{d\mu(k_y)}{dk_y} \right)^\alpha \right\} \\
& \times |\mathbf{m}(k_x)^\dagger \phi|^2 |\mathbf{m}(k_y)^\dagger \phi|^2 \{m_1(k_x)^* m_2(k_y)^* \pm m_2(k_x)^* m_1(k_y)^*\} \{m_1(k_x) m_2(k_y) \pm m_2(k_x) m_1(k_y)\} \\
& + \mathcal{O}\left(\frac{1}{t}\right)
\end{aligned} \tag{2.11}$$

となる。

2.2 計算及び結果

以下では、1次元量子ウォークにおいて極限分布が最も簡単化される $\phi = \begin{pmatrix} \frac{1}{\sqrt{2}} \\ \frac{i}{\sqrt{2}} \end{pmatrix}$ かつ $\mathbf{U} = \begin{pmatrix} \frac{1}{\sqrt{2}} & \frac{1}{\sqrt{2}} \\ \frac{1}{\sqrt{2}} & -\frac{1}{\sqrt{2}} \end{pmatrix}$ の場合を考えて、(2.11) の計算を進めるこことにする。1.2 節で解説したフーリエ解析法を x 方向及び y 方向に適用すると

$$\begin{aligned} \lambda(k_x) &= \frac{i \sin k_x + \sqrt{1 + \cos^2 k_x}}{\sqrt{2}}, & \lambda(k_y) &= \frac{i \sin k_y + \sqrt{1 + \cos^2 k_y}}{\sqrt{2}}, \\ \mu(k_x) &= \frac{i \sin k_x - \sqrt{1 + \cos^2 k_x}}{\sqrt{2}}, & \mu(k_y) &= \frac{i \sin k_y - \sqrt{1 + \cos^2 k_y}}{\sqrt{2}}, \\ \frac{i}{\lambda(k_x)} \frac{d\lambda(k_x)}{dk_x} &= -\frac{\cos k_x}{\sqrt{1 + \cos^2 k_x}}, & \frac{i}{\lambda(k_y)} \frac{d\lambda(k_y)}{dk_y} &= -\frac{\cos k_y}{\sqrt{1 + \cos^2 k_y}}, \\ \frac{i}{\mu(k_x)} \frac{d\mu(k_x)}{dk_x} &= \frac{\cos k_x}{\sqrt{1 + \cos^2 k_x}}, & \frac{i}{\mu(k_y)} \frac{d\mu(k_y)}{dk_y} &= \frac{\cos k_y}{\sqrt{1 + \cos^2 k_y}}, \\ l_1(k_x) &= \sqrt{\frac{\sqrt{1 + \cos^2 k_x} + \cos k_x}{2\sqrt{1 + \cos^2 k_x}}} e^{ik_x}, & l_1(k_y) &= \sqrt{\frac{\sqrt{1 + \cos^2 k_y} + \cos k_y}{2\sqrt{1 + \cos^2 k_y}}} e^{ik_y}, \\ l_2(k_x) &= \sqrt{\frac{\sqrt{1 + \cos^2 k_x} - \cos k_x}{2\sqrt{1 + \cos^2 k_x}}}, & l_2(k_y) &= \sqrt{\frac{\sqrt{1 + \cos^2 k_y} - \cos k_y}{2\sqrt{1 + \cos^2 k_y}}}, \\ m_1(k_x) &= \sqrt{\frac{\sqrt{1 + \cos^2 k_x} - \cos k_x}{2\sqrt{1 + \cos^2 k_x}}} e^{ik_x}, & m_1(k_y) &= \sqrt{\frac{\sqrt{1 + \cos^2 k_y} - \cos k_y}{2\sqrt{1 + \cos^2 k_y}}} e^{ik_y}, \\ m_2(k_x) &= -\sqrt{\frac{\sqrt{1 + \cos^2 k_x} + \cos k_x}{2\sqrt{1 + \cos^2 k_x}}}, & m_2(k_y) &= -\sqrt{\frac{\sqrt{1 + \cos^2 k_y} + \cos k_y}{2\sqrt{1 + \cos^2 k_y}}}, \\ \mathbf{l}(k_x)^\dagger \phi &= \sqrt{\frac{\sqrt{1 + \cos^2 k_x} + \cos k_x}{2\sqrt{1 + \cos^2 k_x}}} \left\{ \frac{e^{-ik_x}}{\sqrt{2}} + \frac{i}{\sqrt{2}} (\sqrt{1 + \cos^2 k_x} - \cos k_x) \right\}, \\ \mathbf{l}(k_y)^\dagger \phi &= \sqrt{\frac{\sqrt{1 + \cos^2 k_y} + \cos k_y}{2\sqrt{1 + \cos^2 k_y}}} \left\{ \frac{e^{-ik_y}}{\sqrt{2}} + \frac{i}{\sqrt{2}} (\sqrt{1 + \cos^2 k_y} - \cos k_y) \right\}, \\ \mathbf{m}(k_x)^\dagger \phi &= \sqrt{\frac{\sqrt{1 + \cos^2 k_x} - \cos k_x}{2\sqrt{1 + \cos^2 k_x}}} \left\{ \frac{e^{-ik_x}}{\sqrt{2}} - \frac{i}{\sqrt{2}} (\sqrt{1 + \cos^2 k_x} + \cos k_x) \right\}, \\ \mathbf{m}(k_y)^\dagger \phi &= \sqrt{\frac{\sqrt{1 + \cos^2 k_y} - \cos k_y}{2\sqrt{1 + \cos^2 k_y}}} \left\{ \frac{e^{-ik_y}}{\sqrt{2}} - \frac{i}{\sqrt{2}} (\sqrt{1 + \cos^2 k_y} + \cos k_y) \right\}, \\ |\mathbf{l}(k_x)^\dagger \phi|^2 &= \frac{\sqrt{1 + \cos^2 k_x} - \sin k_x}{2\sqrt{1 + \cos^2 k_x}}, & |\mathbf{l}(k_y)^\dagger \phi|^2 &= \frac{\sqrt{1 + \cos^2 k_y} - \sin k_y}{2\sqrt{1 + \cos^2 k_y}}, \end{aligned}$$

$$|\mathbf{m}(k_x)^\dagger \phi|^2 = \frac{\sqrt{1 + \cos^2 k_x} + \sin k_x}{2\sqrt{1 + \cos^2 k_x}}, \quad |\mathbf{m}(k_y)^\dagger \phi|^2 = \frac{\sqrt{1 + \cos^2 k_y} + \sin k_y}{2\sqrt{1 + \cos^2 k_y}}$$

となる。これらを用いると結合モーメントに対する長時間評価として

$$\begin{aligned} & \left\langle \left(\frac{X_{\mathbf{P}}(t)}{t} \right)^\alpha \left(\frac{Y_{\mathbf{P}}(t)}{t} \right)^\beta + \left(\frac{X_{\mathbf{P}}(t)}{t} \right)^\beta \left(\frac{Y_{\mathbf{P}}(t)}{t} \right)^\alpha \right\rangle \\ &= \int_{-\pi}^{\pi} \frac{dk_x}{2\pi} \int_{-\pi}^{\pi} \frac{dk_y}{2\pi} \left\{ \left(-\frac{\cos k_x}{\sqrt{1 + \cos^2 k_x}} \right)^\alpha \left(-\frac{\cos k_y}{\sqrt{1 + \cos^2 k_y}} \right)^\beta + \left(-\frac{\cos k_x}{\sqrt{1 + \cos^2 k_x}} \right)^\beta \left(-\frac{\cos k_y}{\sqrt{1 + \cos^2 k_y}} \right)^\alpha \right\} \\ &\times \frac{\sqrt{1 + \cos^2 k_x} - \sin k_x}{2\sqrt{1 + \cos^2 k_x}} \times \frac{\sqrt{1 + \cos^2 k_y} - \sin k_y}{2\sqrt{1 + \cos^2 k_y}} \\ &\times \frac{\sqrt{1 + \cos^2 k_x} \sqrt{1 + \cos^2 k_y} - \cos k_x \cos k_y \pm \cos(k_x - k_y)}{2\sqrt{1 + \cos^2 k_x} \sqrt{1 + \cos^2 k_y}} \\ &+ \int_{-\pi}^{\pi} \frac{dk_x}{2\pi} \int_{-\pi}^{\pi} \frac{dk_y}{2\pi} \{ \lambda(k_y)^* \mu(k_y) \}^t \\ &\times \left\{ \left(-\frac{\cos k_x}{\sqrt{1 + \cos^2 k_x}} \right)^\alpha \left(\frac{\cos k_y}{\sqrt{1 + \cos^2 k_y}} \right)^\beta + \left(-\frac{\cos k_x}{\sqrt{1 + \cos^2 k_x}} \right)^\beta \left(\frac{\cos k_y}{\sqrt{1 + \cos^2 k_y}} \right)^\alpha \right\} \\ &\times \frac{\cos k_y (\sqrt{1 + \cos^2 k_x} - \sin k_x) (\sin k_y - i\sqrt{1 + \cos^2 k_y})}{4\sqrt{1 + \cos^2 k_x} \sqrt{1 + \cos^2 k_y}} \\ &\times \frac{-\cos k_x \mp i \sin(k_x - k_y) \sqrt{1 + \cos^2 k_y} \mp \cos k_y \cos(k_x - k_y)}{2\sqrt{1 + \cos^2 k_x} \sqrt{1 + \cos^2 k_y}} \\ &+ \int_{-\pi}^{\pi} \frac{dk_x}{2\pi} \int_{-\pi}^{\pi} \frac{dk_y}{2\pi} \{ \lambda(k_x)^* \mu(k_x) \}^t \\ &\times \left\{ \left(\frac{\cos k_x}{\sqrt{1 + \cos^2 k_x}} \right)^\alpha \left(-\frac{\cos k_y}{\sqrt{1 + \cos^2 k_y}} \right)^\beta + \left(\frac{\cos k_x}{\sqrt{1 + \cos^2 k_x}} \right)^\beta \left(-\frac{\cos k_y}{\sqrt{1 + \cos^2 k_y}} \right)^\alpha \right\} \\ &\times \frac{\cos k_x (\sqrt{1 + \cos^2 k_y} - \sin k_y) (\sin k_x - i\sqrt{1 + \cos^2 k_x})}{4\sqrt{1 + \cos^2 k_x} \sqrt{1 + \cos^2 k_y}} \\ &\times \frac{-\cos k_y \pm i \sin(k_x - k_y) \sqrt{1 + \cos^2 k_x} \mp \cos k_x \cos(k_x - k_y)}{2\sqrt{1 + \cos^2 k_x} \sqrt{1 + \cos^2 k_y}} \\ &+ \int_{-\pi}^{\pi} \frac{dk_x}{2\pi} \int_{-\pi}^{\pi} \frac{dk_y}{2\pi} \{ \lambda(k_x)^* \mu(k_x) \lambda(k_y)^* \mu(k_y) \}^t \\ &\times \left\{ \left(\frac{\cos k_x}{\sqrt{1 + \cos^2 k_x}} \right)^\alpha \left(\frac{\cos k_y}{\sqrt{1 + \cos^2 k_y}} \right)^\beta + \left(\frac{\cos k_x}{\sqrt{1 + \cos^2 k_x}} \right)^\beta \left(\frac{\cos k_y}{\sqrt{1 + \cos^2 k_y}} \right)^\alpha \right\} \\ &\times \frac{-\cos k_x \cos k_y (\sqrt{1 + \cos^2 k_x} + i \sin k_x) (\sqrt{1 + \cos^2 k_y} + i \sin k_y)}{4\sqrt{1 + \cos^2 k_x} \sqrt{1 + \cos^2 k_y}} \\ &\times \left\{ \frac{-1 \mp \sqrt{1 + \cos^2 k_x} \sqrt{1 + \cos^2 k_y} \cos(k_x - k_y) \pm \cos k_x \cos k_y \cos(k_x - k_y)}{2\sqrt{1 + \cos^2 k_x} \sqrt{1 + \cos^2 k_y}} \right. \\ &\quad \left. \mp \frac{i \sin(k_x - k_y) (\cos k_y \sqrt{1 + \cos^2 k_x} - \cos k_x \sqrt{1 + \cos^2 k_y})}{2\sqrt{1 + \cos^2 k_x} \sqrt{1 + \cos^2 k_y}} \right\} \end{aligned}$$

$$\begin{aligned}
& + \int_{-\pi}^{\pi} \frac{dk_x}{2\pi} \int_{-\pi}^{\pi} \frac{dk_y}{2\pi} \{ \mu(k_y)^* \lambda(k_y) \}^t \\
& \times \left\{ \left(-\frac{\cos k_x}{\sqrt{1+\cos^2 k_x}} \right)^\alpha \left(-\frac{\cos k_y}{\sqrt{1+\cos^2 k_y}} \right)^\beta + \left(-\frac{\cos k_x}{\sqrt{1+\cos^2 k_x}} \right)^\beta \left(-\frac{\cos k_y}{\sqrt{1+\cos^2 k_y}} \right)^\alpha \right\} \\
& \times \frac{\cos k_y (\sqrt{1+\cos^2 k_x} - \sin k_x) (\sin k_y + i\sqrt{1+\cos^2 k_y})}{4\sqrt{1+\cos^2 k_x} \sqrt{1+\cos^2 k_y}} \\
& \times \frac{-\cos k_x \pm i \sin(k_x - k_y) \sqrt{1+\cos^2 k_y} \mp \cos k_y \cos(k_x - k_y)}{2\sqrt{1+\cos^2 k_x} \sqrt{1+\cos^2 k_y}} \\
& + \int_{-\pi}^{\pi} \frac{dk_x}{2\pi} \int_{-\pi}^{\pi} \frac{dk_y}{2\pi} \left\{ \left(-\frac{\cos k_x}{\sqrt{1+\cos^2 k_x}} \right)^\alpha \left(\frac{\cos k_y}{\sqrt{1+\cos^2 k_y}} \right)^\beta + \left(-\frac{\cos k_x}{\sqrt{1+\cos^2 k_x}} \right)^\beta \left(\frac{\cos k_y}{\sqrt{1+\cos^2 k_y}} \right)^\alpha \right\} \\
& \times \frac{\sqrt{1+\cos^2 k_x} - \sin k_x}{2\sqrt{1+\cos^2 k_x}} \times \frac{\sqrt{1+\cos^2 k_y} + \sin k_y}{2\sqrt{1+\cos^2 k_y}} \\
& \times \frac{\sqrt{1+\cos^2 k_x} \sqrt{1+\cos^2 k_y} + \cos k_x \cos k_y \mp \cos(k_x - k_y)}{2\sqrt{1+\cos^2 k_x} \sqrt{1+\cos^2 k_y}} \\
& + \int_{-\pi}^{\pi} \frac{dk_x}{2\pi} \int_{-\pi}^{\pi} \frac{dk_y}{2\pi} \{ \lambda(k_x)^* \mu(k_x) \mu(k_y)^* \lambda(k_y) \}^t \\
& \times \left\{ \left(\frac{\cos k_x}{\sqrt{1+\cos^2 k_x}} \right)^\alpha \left(-\frac{\cos k_y}{\sqrt{1+\cos^2 k_y}} \right)^\beta + \left(\frac{\cos k_x}{\sqrt{1+\cos^2 k_x}} \right)^\beta \left(-\frac{\cos k_y}{\sqrt{1+\cos^2 k_y}} \right)^\alpha \right\} \\
& \times \frac{\cos k_x \cos k_y (\sqrt{1+\cos^2 k_x} + i \sin k_x) (\sqrt{1+\cos^2 k_y} - i \sin k_y)}{4\sqrt{1+\cos^2 k_x} \sqrt{1+\cos^2 k_y}} \\
& \times \left\{ \frac{-1 \pm \sqrt{1+\cos^2 k_x} \sqrt{1+\cos^2 k_y} \cos(k_x - k_y) \pm \cos k_x \cos k_y \cos(k_x - k_y)}{2\sqrt{1+\cos^2 k_x} \sqrt{1+\cos^2 k_y}} \right. \\
& \quad \left. \mp \frac{i \sin(k_x - k_y) (\cos k_y \sqrt{1+\cos^2 k_x} + \cos k_x \sqrt{1+\cos^2 k_y})}{2\sqrt{1+\cos^2 k_x} \sqrt{1+\cos^2 k_y}} \right\} \\
& + \int_{-\pi}^{\pi} \frac{dk_x}{2\pi} \int_{-\pi}^{\pi} \frac{dk_y}{2\pi} \{ \lambda(k_x)^* \mu(k_x) \}^t \\
& \times \left\{ \left(\frac{\cos k_x}{\sqrt{1+\cos^2 k_x}} \right)^\alpha \left(\frac{\cos k_y}{\sqrt{1+\cos^2 k_y}} \right)^\beta + \left(\frac{\cos k_x}{\sqrt{1+\cos^2 k_x}} \right)^\beta \left(\frac{\cos k_y}{\sqrt{1+\cos^2 k_y}} \right)^\alpha \right\} \\
& \times \frac{\cos k_x (\sqrt{1+\cos^2 k_y} + \sin k_y) (\sin k_x - i\sqrt{1+\cos^2 k_x})}{4\sqrt{1+\cos^2 k_x} \sqrt{1+\cos^2 k_y}} \\
& \times \frac{\cos k_y \mp i \sin(k_x - k_y) \sqrt{1+\cos^2 k_x} \pm \cos k_x \cos(k_x - k_y)}{2\sqrt{1+\cos^2 k_x} \sqrt{1+\cos^2 k_y}}
\end{aligned}$$

$$\begin{aligned}
& + \int_{-\pi}^{\pi} \frac{dk_x}{2\pi} \int_{-\pi}^{\pi} \frac{dk_y}{2\pi} \{ \mu(k_x)^* \lambda(k_x) \}^t \\
& \times \left\{ \left(-\frac{\cos k_x}{\sqrt{1+\cos^2 k_x}} \right)^\alpha \left(-\frac{\cos k_y}{\sqrt{1+\cos^2 k_y}} \right)^\beta + \left(-\frac{\cos k_x}{\sqrt{1+\cos^2 k_x}} \right)^\beta \left(-\frac{\cos k_y}{\sqrt{1+\cos^2 k_y}} \right)^\alpha \right\} \\
& \times \frac{\cos k_x (\sqrt{1+\cos^2 k_y} - \sin k_y) (\sin k_x + i\sqrt{1+\cos^2 k_x})}{4\sqrt{1+\cos^2 k_x} \sqrt{1+\cos^2 k_y}} \\
& \times \frac{-\cos k_y \mp i \sin(k_x - k_y) \sqrt{1+\cos^2 k_x} \mp \cos k_x \cos(k_x - k_y)}{2\sqrt{1+\cos^2 k_x} \sqrt{1+\cos^2 k_y}} \\
& + \int_{-\pi}^{\pi} \frac{dk_x}{2\pi} \int_{-\pi}^{\pi} \frac{dk_y}{2\pi} \{ \mu(k_x)^* \lambda(k_x) \lambda(k_y)^* \mu(k_y) \}^t \\
& \times \left\{ \left(-\frac{\cos k_x}{\sqrt{1+\cos^2 k_x}} \right)^\alpha \left(\frac{\cos k_y}{\sqrt{1+\cos^2 k_y}} \right)^\beta + \left(-\frac{\cos k_x}{\sqrt{1+\cos^2 k_x}} \right)^\beta \left(\frac{\cos k_y}{\sqrt{1+\cos^2 k_y}} \right)^\alpha \right\} \\
& \times \frac{\cos k_x \cos k_y (\sqrt{1+\cos^2 k_x} - i \sin k_x) (\sqrt{1+\cos^2 k_y} + i \sin k_y)}{4\sqrt{1+\cos^2 k_x} \sqrt{1+\cos^2 k_y}} \\
& \times \left\{ \frac{-1 \pm \sqrt{1+\cos^2 k_x} \sqrt{1+\cos^2 k_y} \cos(k_x - k_y) \pm \cos k_x \cos k_y \cos(k_x - k_y)}{2\sqrt{1+\cos^2 k_x} \sqrt{1+\cos^2 k_y}} \right. \\
& \quad \left. \pm \frac{i \sin(k_x - k_y) (\cos k_y \sqrt{1+\cos^2 k_x} + \cos k_x \sqrt{1+\cos^2 k_y})}{2\sqrt{1+\cos^2 k_x} \sqrt{1+\cos^2 k_y}} \right\} \\
& + \int_{-\pi}^{\pi} \frac{dk_x}{2\pi} \int_{-\pi}^{\pi} \frac{dk_y}{2\pi} \left\{ \left(\frac{\cos k_x}{\sqrt{1+\cos^2 k_x}} \right)^\alpha \left(-\frac{\cos k_y}{\sqrt{1+\cos^2 k_y}} \right)^\beta + \left(\frac{\cos k_x}{\sqrt{1+\cos^2 k_x}} \right)^\beta \left(-\frac{\cos k_y}{\sqrt{1+\cos^2 k_y}} \right)^\alpha \right\} \\
& \times \frac{\sqrt{1+\cos^2 k_x} + \sin k_x}{2\sqrt{1+\cos^2 k_x}} \times \frac{\sqrt{1+\cos^2 k_y} - \sin k_y}{2\sqrt{1+\cos^2 k_y}} \\
& \times \frac{\sqrt{1+\cos^2 k_x} \sqrt{1+\cos^2 k_y} + \cos k_x \cos k_y \mp \cos(k_x - k_y)}{2\sqrt{1+\cos^2 k_x} \sqrt{1+\cos^2 k_y}} \\
& + \int_{-\pi}^{\pi} \frac{dk_x}{2\pi} \int_{-\pi}^{\pi} \frac{dk_y}{2\pi} \{ \lambda(k_y)^* \mu(k_y) \}^t \\
& \times \left\{ \left(\frac{\cos k_x}{\sqrt{1+\cos^2 k_x}} \right)^\alpha \left(\frac{\cos k_y}{\sqrt{1+\cos^2 k_y}} \right)^\beta + \left(\frac{\cos k_x}{\sqrt{1+\cos^2 k_x}} \right)^\beta \left(\frac{\cos k_y}{\sqrt{1+\cos^2 k_y}} \right)^\alpha \right\} \\
& \times \frac{\cos k_y (\sqrt{1+\cos^2 k_x} + \sin k_x) (\sin k_y - i\sqrt{1+\cos^2 k_y})}{4\sqrt{1+\cos^2 k_x} \sqrt{1+\cos^2 k_y}} \\
& \times \frac{\cos k_x \pm i \sin(k_x - k_y) \sqrt{1+\cos^2 k_y} \pm \cos k_y \cos(k_x - k_y)}{2\sqrt{1+\cos^2 k_x} \sqrt{1+\cos^2 k_y}}
\end{aligned}$$

$$\begin{aligned}
& + \int_{-\pi}^{\pi} \frac{dk_x}{2\pi} \int_{-\pi}^{\pi} \frac{dk_y}{2\pi} \{ \mu(k_x)^* \lambda(k_x) \mu(k_y)^* \lambda(k_y) \}^t \\
& \times \left\{ \left(-\frac{\cos k_x}{\sqrt{1+\cos^2 k_x}} \right)^\alpha \left(-\frac{\cos k_y}{\sqrt{1+\cos^2 k_y}} \right)^\beta + \left(-\frac{\cos k_x}{\sqrt{1+\cos^2 k_x}} \right)^\beta \left(-\frac{\cos k_y}{\sqrt{1+\cos^2 k_y}} \right)^\alpha \right\} \\
& \times \frac{-\cos k_x \cos k_y (\sqrt{1+\cos^2 k_x} - i \sin k_x) (\sqrt{1+\cos^2 k_y} - i \sin k_y)}{4\sqrt{1+\cos^2 k_x} \sqrt{1+\cos^2 k_y}} \\
& \times \left\{ \frac{-1 \mp \sqrt{1+\cos^2 k_x} \sqrt{1+\cos^2 k_y} \cos(k_x - k_y) \pm \cos k_x \cos k_y \cos(k_x - k_y)}{2\sqrt{1+\cos^2 k_x} \sqrt{1+\cos^2 k_y}} \right. \\
& \quad \left. \pm \frac{i \sin(k_x - k_y) (\cos k_y \sqrt{1+\cos^2 k_x} - \cos k_x \sqrt{1+\cos^2 k_y})}{2\sqrt{1+\cos^2 k_x} \sqrt{1+\cos^2 k_y}} \right\} \\
& + \int_{-\pi}^{\pi} \frac{dk_x}{2\pi} \int_{-\pi}^{\pi} \frac{dk_y}{2\pi} \{ \mu(k_x)^* \lambda(k_x) \}^t \\
& \times \left\{ \left(-\frac{\cos k_x}{\sqrt{1+\cos^2 k_x}} \right)^\alpha \left(\frac{\cos k_y}{\sqrt{1+\cos^2 k_y}} \right)^\beta + \left(-\frac{\cos k_x}{\sqrt{1+\cos^2 k_x}} \right)^\beta \left(\frac{\cos k_y}{\sqrt{1+\cos^2 k_y}} \right)^\alpha \right\} \\
& \times \frac{\cos k_x (\sqrt{1+\cos^2 k_y} + \sin k_y) (\sin k_x + i \sqrt{1+\cos^2 k_x})}{4\sqrt{1+\cos^2 k_x} \sqrt{1+\cos^2 k_y}} \\
& \times \frac{\cos k_y \pm i \sin(k_x - k_y) \sqrt{1+\cos^2 k_x} \pm \cos k_x \cos(k_x - k_y)}{2\sqrt{1+\cos^2 k_x} \sqrt{1+\cos^2 k_y}} \\
& + \int_{-\pi}^{\pi} \frac{dk_x}{2\pi} \int_{-\pi}^{\pi} \frac{dk_y}{2\pi} \{ \mu(k_y)^* \lambda(k_y) \}^t \\
& \times \left\{ \left(\frac{\cos k_x}{\sqrt{1+\cos^2 k_x}} \right)^\alpha \left(-\frac{\cos k_y}{\sqrt{1+\cos^2 k_y}} \right)^\beta + \left(\frac{\cos k_x}{\sqrt{1+\cos^2 k_x}} \right)^\beta \left(-\frac{\cos k_y}{\sqrt{1+\cos^2 k_y}} \right)^\alpha \right\} \\
& \times \frac{\cos k_y (\sqrt{1+\cos^2 k_x} + \sin k_x) (\sin k_y + i \sqrt{1+\cos^2 k_y})}{4\sqrt{1+\cos^2 k_x} \sqrt{1+\cos^2 k_y}} \\
& \times \frac{\cos k_x \mp i \sin(k_x - k_y) \sqrt{1+\cos^2 k_y} \pm \cos k_y \cos(k_x - k_y)}{2\sqrt{1+\cos^2 k_x} \sqrt{1+\cos^2 k_y}} \\
& + \int_{-\pi}^{\pi} \frac{dk_x}{2\pi} \int_{-\pi}^{\pi} \frac{dk_y}{2\pi} \left\{ \left(\frac{\cos k_x}{\sqrt{1+\cos^2 k_x}} \right)^\alpha \left(\frac{\cos k_y}{\sqrt{1+\cos^2 k_y}} \right)^\beta + \left(\frac{\cos k_x}{\sqrt{1+\cos^2 k_x}} \right)^\beta \left(\frac{\cos k_y}{\sqrt{1+\cos^2 k_y}} \right)^\alpha \right\} \\
& \times \frac{\sqrt{1+\cos^2 k_x} + \sin k_x}{2\sqrt{1+\cos^2 k_x}} \times \frac{\sqrt{1+\cos^2 k_y} + \sin k_y}{2\sqrt{1+\cos^2 k_y}} \\
& \times \frac{\sqrt{1+\cos^2 k_x} \sqrt{1+\cos^2 k_y} - \cos k_x \cos k_y \pm \cos(k_x - k_y)}{2\sqrt{1+\cos^2 k_x} \sqrt{1+\cos^2 k_y}} \\
& + \mathcal{O}\left(\frac{1}{t}\right)
\end{aligned} \tag{2.12}$$

が得られる。

次に1次元量子ウォークに対する計算 [1, 2, 6] と同様に, $(k_x, k_y) \mapsto (v_x, v_y)$ へ

$$-\frac{\cos k_x}{\sqrt{1 + \cos^2 k_x}} = v_x, \quad -\frac{\cos k_y}{\sqrt{1 + \cos^2 k_y}} = v_y \quad (2.13)$$

に従って変数変換する. すると

$$\begin{aligned} \sqrt{1 + \cos^2 k_x} &= \frac{1}{\sqrt{1 - v_x^2}}, & \sqrt{1 + \cos^2 k_y} &= \frac{1}{\sqrt{1 - v_y^2}}, \\ \cos k_x &= -\frac{v_x}{\sqrt{1 - v_x^2}}, & \cos k_y &= -\frac{v_y}{\sqrt{1 - v_y^2}}, \\ \sin k_x &= \frac{\sqrt{1 - 2v_x^2}}{\sqrt{1 - v_x^2}}, & \sin k_y &= \frac{\sqrt{1 - 2v_y^2}}{\sqrt{1 - v_y^2}}, \\ \cos k_x \cos k_y &= \frac{v_x v_y}{\sqrt{1 - v_x^2} \sqrt{1 - v_y^2}}, & \sin k_x \sin k_y &= \frac{\sqrt{1 - 2v_x^2} \sqrt{1 - 2v_y^2}}{\sqrt{1 - v_x^2} \sqrt{1 - v_y^2}}, \\ \cos(k_x - k_y) &= \frac{v_x v_y + \sqrt{1 - 2v_x^2} \sqrt{1 - 2v_y^2}}{\sqrt{1 - v_x^2} \sqrt{1 - v_y^2}}, & \sin(k_x - k_y) &= \frac{-v_y \sqrt{1 - 2v_x^2} + v_x \sqrt{1 - 2v_y^2}}{\sqrt{1 - v_x^2} \sqrt{1 - v_y^2}} \end{aligned}$$

となる. $\lambda(k)$ 及び $\mu(k)$ は絶対値が 1 の複素数であるから $\lambda(k)^* \mu(k)$ も同様である. よって

$$\lambda(k)^* \mu(k) = -\frac{(\mathbf{i} \sin k - \sqrt{1 + \cos^2 k})^2}{2} = -\frac{(\mathbf{i} \sqrt{1 - 2v^2} - 1)^2}{2(1 - v^2)} = e^{i\theta(v)}$$

と書ける. これを x 方向及び y 方向にそれぞれ適用すると

$$\begin{aligned} \lambda(k_x)^* \mu(k_x) &= -\frac{(\mathbf{i} \sqrt{1 - 2v_x^2} - 1)^2}{2(1 - v_x^2)} = e^{i\theta_x(v_x)}, \\ \lambda(k_y)^* \mu(k_y) &= -\frac{(\mathbf{i} \sqrt{1 - 2v_y^2} - 1)^2}{2(1 - v_y^2)} = e^{i\theta_y(v_y)} \end{aligned}$$

と書ける. また

$$\frac{\partial k_x}{\partial v_x} = \frac{1}{(1 - v_x^2) \sqrt{1 - 2v_x^2}}, \quad \frac{\partial k_y}{\partial v_y} = \frac{1}{(1 - v_y^2) \sqrt{1 - 2v_y^2}},$$

$$\left| \det \begin{pmatrix} \frac{\partial k_x}{\partial v_x} & \frac{\partial k_x}{\partial v_y} \\ \frac{\partial k_y}{\partial v_x} & \frac{\partial k_y}{\partial v_y} \end{pmatrix} \right| = \frac{1}{(1 - v_x^2) \sqrt{1 - 2v_x^2} (1 - v_y^2) \sqrt{1 - 2v_y^2}}$$

であるから, 指示関数を含めてヤコビアンは

$$|J| = \frac{1}{(1 - v_x^2) \sqrt{1 - 2v_x^2} (1 - v_y^2) \sqrt{1 - 2v_y^2}} \mathbb{1}\left(|v_x| < \frac{1}{\sqrt{2}}\right) \mathbb{1}\left(|v_y| < \frac{1}{\sqrt{2}}\right) \quad (2.14)$$

となる.

これらを用いると結合モーメントに対して

$$\begin{aligned}
& \left\langle \left(\frac{X_{\mathbf{P}}(t)}{t} \right)^\alpha \left(\frac{Y_{\mathbf{P}}(t)}{t} \right)^\beta + \left(\frac{X_{\mathbf{P}}(t)}{t} \right)^\beta \left(\frac{Y_{\mathbf{P}}(t)}{t} \right)^\alpha \right\rangle \\
&= \int_{-\infty}^{\infty} \frac{dv_x}{2\pi} \int_{-\infty}^{\infty} \frac{dv_y}{2\pi} \{ v_x^\alpha v_y^\beta + v_x^\beta v_y^\alpha \} |J| \\
&\times \frac{1}{4} \left(1 + \sqrt{(1 - 2v_x^2)(1 - 2v_y^2)} - \sqrt{1 - 2v_y^2} - \sqrt{1 - 2v_x^2} \right) \times \frac{1}{2} \left(1 - v_x v_y \pm v_x v_y \pm \sqrt{(1 - 2v_x^2)(1 - 2v_y^2)} \right) \\
&+ \int_{-\infty}^{\infty} \frac{dv_x}{2\pi} \int_{-\infty}^{\infty} \frac{dv_y}{2\pi} \{ v_x^\alpha (-v_y)^\beta + v_x^\beta (-v_y)^\alpha \} |J| e^{i\theta_y(v_y)t} \\
&\times \frac{1}{\sqrt{1 - v_y^2}} \times \frac{1}{4} \left(-\sqrt{1 - 2v_y^2} + \mathbf{i} + \sqrt{(1 - 2v_x^2)(1 - 2v_y^2)} - \mathbf{i}\sqrt{1 - 2v_x^2} \right) \\
&\times \frac{1}{\sqrt{1 - v_y^2}} \times \frac{1}{2} \left\{ v_x(1 - v_y^2) \mp \mathbf{i} \left(-v_y \sqrt{1 - 2v_x^2} + v_x \sqrt{1 - 2v_y^2} \right) \pm v_y \left(v_x v_y + \sqrt{(1 - 2v_x^2)(1 - 2v_y^2)} \right) \right\} \\
&+ \int_{-\infty}^{\infty} \frac{dv_x}{2\pi} \int_{-\infty}^{\infty} \frac{dv_y}{2\pi} \{ (-v_x)^\alpha v_y^\beta + (-v_x)^\beta v_y^\alpha \} |J| e^{i\theta_x(v_x)t} \\
&\times \frac{1}{\sqrt{1 - v_x^2}} \times \frac{1}{4} \left(-\sqrt{1 - 2v_x^2} + \mathbf{i} + \sqrt{(1 - 2v_x^2)(1 - 2v_y^2)} - \mathbf{i}\sqrt{1 - 2v_y^2} \right) \\
&\times \frac{1}{\sqrt{1 - v_x^2}} \times \frac{1}{2} \left\{ v_y(1 - v_x^2) \pm \mathbf{i} \left(-v_y \sqrt{1 - 2v_x^2} + v_x \sqrt{1 - 2v_y^2} \right) \pm v_x \left(v_x v_y + \sqrt{(1 - 2v_x^2)(1 - 2v_y^2)} \right) \right\} \\
&+ \int_{-\infty}^{\infty} \frac{dv_x}{2\pi} \int_{-\infty}^{\infty} \frac{dv_y}{2\pi} \{ (-v_x)^\alpha (-v_y)^\beta + (-v_x)^\beta (-v_y)^\alpha \} |J| e^{i\{\theta_x(v_x) + \theta_y(v_y)\}t} \\
&\times \frac{1}{\sqrt{(1 - v_x^2)(1 - v_y^2)}} \times \frac{1}{4} \left(-v_x v_y - \mathbf{i} v_x v_y \sqrt{1 - 2v_y^2} - \mathbf{i} v_x v_y \sqrt{1 - 2v_x^2} + v_x v_y \sqrt{(1 - 2v_x^2)(1 - 2v_y^2)} \right) \\
&\times \frac{1}{\sqrt{(1 - v_x^2)(1 - v_y^2)}} \times \frac{1}{2} \left\{ -(1 - v_x^2)(1 - v_y^2) \mp v_x v_y \mp \sqrt{(1 - 2v_x^2)(1 - 2v_y^2)} \pm v_x^2 v_y^2 \pm v_x v_y \sqrt{(1 - 2v_x^2)(1 - 2v_y^2)} \right. \\
&\mp \mathbf{i}(v_x - v_y) \left(-v_y \sqrt{1 - 2v_x^2} + v_x \sqrt{1 - 2v_y^2} \right) \left. \right\} \\
&+ \int_{-\infty}^{\infty} \frac{dv_x}{2\pi} \int_{-\infty}^{\infty} \frac{dv_y}{2\pi} \{ v_x^\alpha v_y^\beta + v_x^\beta v_y^\alpha \} |J| e^{-i\theta_y(v_y)t} \\
&\times \frac{1}{\sqrt{1 - v_y^2}} \times \frac{1}{4} \left(-\sqrt{1 - 2v_y^2} - \mathbf{i} + \sqrt{(1 - 2v_x^2)(1 - 2v_y^2)} + \mathbf{i}\sqrt{1 - 2v_x^2} \right) \\
&\times \frac{1}{\sqrt{1 - v_y^2}} \times \frac{1}{2} \left\{ v_x(1 - v_y^2) \pm \mathbf{i} \left(-v_y \sqrt{1 - 2v_x^2} + v_x \sqrt{1 - 2v_y^2} \right) \pm v_y \left(v_x v_y + \sqrt{(1 - 2v_x^2)(1 - 2v_y^2)} \right) \right\} \\
&+ \int_{-\infty}^{\infty} \frac{dv_x}{2\pi} \int_{-\infty}^{\infty} \frac{dv_y}{2\pi} \{ v_x^\alpha (-v_y)^\beta + v_x^\beta (-v_y)^\alpha \} |J| \\
&\times \frac{1}{4} \left(1 - \sqrt{(1 - 2v_x^2)(1 - 2v_y^2)} + \sqrt{1 - 2v_y^2} - \sqrt{1 - 2v_x^2} \right) \times \frac{1}{2} \left(1 + v_x v_y \mp v_x v_y \mp \sqrt{(1 - 2v_x^2)(1 - 2v_y^2)} \right)
\end{aligned}$$

$$\begin{aligned}
& + \int_{-\infty}^{\infty} \frac{dv_x}{2\pi} \int_{-\infty}^{\infty} \frac{dv_y}{2\pi} \left\{ (-v_x)^{\alpha} v_y^{\beta} + (-v_x)^{\beta} v_y^{\alpha} \right\} |J| e^{i\{\theta_x(v_x) - \theta_y(v_y)\}t} \\
& \times \frac{1}{\sqrt{(1-v_x^2)(1-v_y^2)}} \times \frac{1}{4} \left(v_x v_y - i v_x v_y \sqrt{1-2v_y^2} + i v_x v_y \sqrt{1-2v_x^2} + v_x v_y \sqrt{(1-2v_x^2)(1-2v_y^2)} \right) \\
& \times \frac{1}{\sqrt{(1-v_x^2)(1-v_y^2)}} \times \frac{1}{2} \left\{ -(1-v_x^2)(1-v_y^2) \pm v_x v_y \pm \sqrt{(1-2v_x^2)(1-2v_y^2)} \pm v_x^2 v_y^2 \pm v_x v_y \sqrt{(1-2v_x^2)(1-2v_y^2)} \right. \\
& \mp (-i)(v_x + v_y) \left. \left(-v_y \sqrt{1-2v_x^2} + v_x \sqrt{1-2v_y^2} \right) \right\} \\
& + \int_{-\infty}^{\infty} \frac{dv_x}{2\pi} \int_{-\infty}^{\infty} \frac{dv_y}{2\pi} \left\{ (-v_x)^{\alpha} (-v_y)^{\beta} + (-v_x)^{\beta} (-v_y)^{\alpha} \right\} |J| e^{i\theta_x(v_x)t} \\
& \times \frac{1}{\sqrt{1-v_x^2}} \times \frac{1}{4} \left(-\sqrt{1-2v_x^2} + i - \sqrt{(1-2v_x^2)(1-2v_y^2)} + i \sqrt{1-2v_y^2} \right) \\
& \times \frac{1}{\sqrt{1-v_x^2}} \times \frac{1}{2} \left\{ -v_y(1-v_x^2) \mp i \left(-v_y \sqrt{1-2v_x^2} + v_x \sqrt{1-2v_y^2} \right) \mp v_x \left(v_x v_y + \sqrt{(1-2v_x^2)(1-2v_y^2)} \right) \right\} \\
& + \int_{-\infty}^{\infty} \frac{dv_x}{2\pi} \int_{-\infty}^{\infty} \frac{dv_y}{2\pi} \left\{ v_x^{\alpha} v_y^{\beta} + v_x^{\beta} v_y^{\alpha} \right\} |J| e^{-i\theta_x(v_x)t} \\
& \times \frac{1}{\sqrt{1-v_x^2}} \times \frac{1}{4} \left(-\sqrt{1-2v_x^2} - i + \sqrt{(1-2v_x^2)(1-2v_y^2)} + i \sqrt{1-2v_y^2} \right) \\
& \times \frac{1}{\sqrt{1-v_x^2}} \times \frac{1}{2} \left\{ v_y(1-v_x^2) \mp i \left(-v_y \sqrt{1-2v_x^2} + v_x \sqrt{1-2v_y^2} \right) \pm v_x \left(v_x v_y + \sqrt{(1-2v_x^2)(1-2v_y^2)} \right) \right\} \\
& + \int_{-\infty}^{\infty} \frac{dv_x}{2\pi} \int_{-\infty}^{\infty} \frac{dv_y}{2\pi} \left\{ v_x^{\alpha} (-v_y)^{\beta} + v_x^{\beta} (-v_y)^{\alpha} \right\} |J| e^{-i\{\theta_x(v_x) - \theta_y(v_y)\}t} \\
& \times \frac{1}{\sqrt{(1-v_x^2)(1-v_y^2)}} \times \frac{1}{4} \left(v_x v_y + i v_x v_y \sqrt{1-2v_y^2} - i v_x v_y \sqrt{1-2v_x^2} + v_x v_y \sqrt{(1-2v_x^2)(1-2v_y^2)} \right) \\
& \times \frac{1}{\sqrt{(1-v_x^2)(1-v_y^2)}} \times \frac{1}{2} \left\{ -(1-v_x^2)(1-v_y^2) \pm v_x v_y \pm \sqrt{(1-2v_x^2)(1-2v_y^2)} \pm v_x^2 v_y^2 \pm v_x v_y \sqrt{(1-2v_x^2)(1-2v_y^2)} \right. \\
& \pm (-i)(v_x + v_y) \left. \left(-v_y \sqrt{1-2v_x^2} + v_x \sqrt{1-2v_y^2} \right) \right\} \\
& + \int_{-\infty}^{\infty} \frac{dv_x}{2\pi} \int_{-\infty}^{\infty} \frac{dv_y}{2\pi} \left\{ (-v_x)^{\alpha} v_y^{\beta} + (-v_x)^{\beta} v_y^{\alpha} \right\} |J| \\
& \times \frac{1}{4} \left(1 - \sqrt{(1-2v_x^2)(1-2v_y^2)} - \sqrt{1-2v_y^2} + \sqrt{1-2v_x^2} \right) \times \frac{1}{2} \left(1 + v_x v_y \mp v_x v_y \mp \sqrt{(1-2v_x^2)(1-2v_y^2)} \right) \\
& + \int_{-\infty}^{\infty} \frac{dv_x}{2\pi} \int_{-\infty}^{\infty} \frac{dv_y}{2\pi} \left\{ (-v_x)^{\alpha} (-v_y)^{\beta} + (-v_x)^{\beta} (-v_y)^{\alpha} \right\} |J| e^{i\theta_y(v_y)t} \\
& \times \frac{1}{\sqrt{1-v_y^2}} \times \frac{1}{4} \left(-\sqrt{1-2v_y^2} + i - \sqrt{(1-2v_x^2)(1-2v_y^2)} + i \sqrt{1-2v_x^2} \right) \\
& \times \frac{1}{\sqrt{1-v_y^2}} \times \frac{1}{2} \left\{ -v_x(1-v_y^2) \pm i \left(-v_y \sqrt{1-2v_x^2} + v_x \sqrt{1-2v_y^2} \right) \mp v_y \left(v_x v_y + \sqrt{(1-2v_x^2)(1-2v_y^2)} \right) \right\}
\end{aligned}$$

$$\begin{aligned}
& + \int_{-\infty}^{\infty} \frac{dv_x}{2\pi} \int_{-\infty}^{\infty} \frac{dv_y}{2\pi} \left\{ v_x^\alpha v_y^\beta + v_x^\beta v_y^\alpha \right\} |J| e^{-i\{\theta_x(v_x) + \theta_y(v_y)\}t} \\
& \times \frac{1}{\sqrt{(1-v_x^2)(1-v_y^2)}} \times \frac{1}{4} \left(-v_x v_y + i v_x v_y \sqrt{1-2v_y^2} + i v_x v_y \sqrt{1-2v_x^2} + v_x v_y \sqrt{(1-2v_x^2)(1-2v_y^2)} \right) \\
& \times \frac{1}{\sqrt{(1-v_x^2)(1-v_y^2)}} \times \frac{1}{2} \left\{ -(1-v_x^2)(1-v_y^2) \mp v_x v_y \mp \sqrt{(1-2v_x^2)(1-2v_y^2)} \pm v_x^2 v_y^2 \pm v_x v_y \sqrt{(1-2v_x^2)(1-2v_y^2)} \right. \\
& \left. \pm i(v_x - v_y) \left(-v_y \sqrt{1-2v_x^2} + v_x \sqrt{1-2v_y^2} \right) \right\} \\
& + \int_{-\infty}^{\infty} \frac{dv_x}{2\pi} \int_{-\infty}^{\infty} \frac{dv_y}{2\pi} \left\{ v_x^\alpha (-v_y)^\beta + v_x^\beta (-v_y)^\alpha \right\} |J| e^{-i\theta_x(v_x)t} \\
& \times \frac{1}{\sqrt{1-v_x^2}} \times \frac{1}{4} \left(-\sqrt{1-2v_x^2} - i - \sqrt{(1-2v_x^2)(1-2v_y^2)} - i \sqrt{1-2v_y^2} \right) \\
& \times \frac{1}{\sqrt{1-v_x^2}} \times \frac{1}{2} \left\{ -v_y(1-v_x^2) \pm i \left(-v_y \sqrt{1-2v_x^2} + v_x \sqrt{1-2v_y^2} \right) \mp v_x \left(v_x v_y + \sqrt{(1-2v_x^2)(1-2v_y^2)} \right) \right\} \\
& + \int_{-\infty}^{\infty} \frac{dv_x}{2\pi} \int_{-\infty}^{\infty} \frac{dv_y}{2\pi} \left\{ (-v_x)^\alpha v_y^\beta + (-v_x)^\beta v_y^\alpha \right\} |J| e^{-i\theta_y(v_y)t} \\
& \times \frac{1}{\sqrt{1-v_y^2}} \times \frac{1}{4} \left(-\sqrt{1-2v_y^2} - i - \sqrt{(1-2v_x^2)(1-2v_y^2)} - i \sqrt{1-2v_x^2} \right) \\
& \times \frac{1}{\sqrt{1-v_y^2}} \times \frac{1}{2} \left\{ -v_x(1-v_y^2) \mp i \left(-v_y \sqrt{1-2v_x^2} + v_x \sqrt{1-2v_y^2} \right) \mp v_y \left(v_x v_y + \sqrt{(1-2v_x^2)(1-2v_y^2)} \right) \right\} \\
& + \int_{-\infty}^{\infty} \frac{dv_x}{2\pi} \int_{-\infty}^{\infty} \frac{dv_y}{2\pi} \left\{ (-v_x)^\alpha (-v_y)^\beta + (-v_x)^\beta (-v_y)^\alpha \right\} |J| \\
& \times \frac{1}{4} \left(1 + \sqrt{(1-2v_x^2)(1-2v_y^2)} + \sqrt{1-2v_y^2} + \sqrt{1-2v_x^2} \right) \times \frac{1}{2} \left(1 - v_x v_y \pm v_x v_y \pm \sqrt{(1-2v_x^2)(1-2v_y^2)} \right) \\
& + \mathcal{O}\left(\frac{1}{t}\right)
\end{aligned} \tag{2.15}$$

という長時間評価が得られる。

ボソンの結合モーメント $\left\langle \left(\frac{X_{\mathbf{B}}(t)}{t} \right)^\alpha \left(\frac{Y_{\mathbf{B}}(t)}{t} \right)^\beta + \left(\frac{X_{\mathbf{B}}(t)}{t} \right)^\beta \left(\frac{Y_{\mathbf{B}}(t)}{t} \right)^\alpha \right\rangle$ は
(2.15)において複号の上側を探すことによって得られる。 $I_{\mathbf{B}}$ と $J_{\mathbf{B}}(t)$ をそれぞれ

$$\begin{aligned}
I_{\mathbf{B}} = & \int_{-\infty}^{\infty} \frac{dv_x}{2\pi} \int_{-\infty}^{\infty} \frac{dv_y}{2\pi} \{ v_x^\alpha v_y^\beta + v_x^\beta v_y^\alpha \} |J| \\
& \times \left\{ \frac{1}{4} - \frac{1}{4}v_x^2 - \frac{1}{4}v_y^2 + \frac{1}{2}v_x^2 v_y^2 \right. \\
& + \left(\frac{1}{4}v_y^2 - \frac{1}{4} \right) \sqrt{1 - 2v_x^2} + \left(\frac{1}{4}v_x^2 - \frac{1}{4} \right) \sqrt{1 - 2v_y^2} + \frac{1}{4}\sqrt{(1 - 2v_x^2)(1 - 2v_y^2)} \Big\} \\
& + \int_{-\infty}^{\infty} \frac{dv_x}{2\pi} \int_{-\infty}^{\infty} \frac{dv_y}{2\pi} \{ v_x^\alpha (-v_y)^\beta + v_x^\beta (-v_y)^\alpha \} |J| \\
& \times \left\{ \frac{1}{4} - \frac{1}{4}v_x^2 - \frac{1}{4}v_y^2 + \frac{1}{2}v_x^2 v_y^2 \right. \\
& + \left(\frac{1}{4}v_y^2 - \frac{1}{4} \right) \sqrt{1 - 2v_x^2} + \left(\frac{1}{4} - \frac{1}{4}v_x^2 \right) \sqrt{1 - 2v_y^2} - \frac{1}{4}\sqrt{(1 - 2v_x^2)(1 - 2v_y^2)} \Big\} \\
& + \int_{-\infty}^{\infty} \frac{dv_x}{2\pi} \int_{-\infty}^{\infty} \frac{dv_y}{2\pi} \{ (-v_x)^\alpha v_y^\beta + (-v_x)^\beta v_y^\alpha \} |J| \\
& \times \left\{ \frac{1}{4} - \frac{1}{4}v_x^2 - \frac{1}{4}v_y^2 + \frac{1}{2}v_x^2 v_y^2 \right. \\
& + \left(\frac{1}{4} - \frac{1}{4}v_y^2 \right) \sqrt{1 - 2v_x^2} + \left(\frac{1}{4}v_x^2 - \frac{1}{4} \right) \sqrt{1 - 2v_y^2} - \frac{1}{4}\sqrt{(1 - 2v_x^2)(1 - 2v_y^2)} \Big\} \\
& + \int_{-\infty}^{\infty} \frac{dv_x}{2\pi} \int_{-\infty}^{\infty} \frac{dv_y}{2\pi} \{ (-v_x)^\alpha (-v_y)^\beta + (-v_x)^\beta (-v_y)^\alpha \} |J| \\
& \times \left\{ \frac{1}{4} - \frac{1}{4}v_x^2 - \frac{1}{4}v_y^2 + \frac{1}{2}v_x^2 v_y^2 \right. \\
& + \left(\frac{1}{4} - \frac{1}{4}v_y^2 \right) \sqrt{1 - 2v_x^2} + \left(\frac{1}{4} - \frac{1}{4}v_x^2 \right) \sqrt{1 - 2v_y^2} + \frac{1}{4}\sqrt{(1 - 2v_x^2)(1 - 2v_y^2)} \Big\}
\end{aligned} \tag{2.16}$$

および

$$\begin{aligned}
J_{\mathbf{B}}(t) = & \int_{-\infty}^{\infty} \frac{dv_x}{2\pi} \int_{-\infty}^{\infty} \frac{dv_y}{2\pi} \left\{ v_x^\alpha (-v_y)^\beta + v_x^\beta (-v_y)^\alpha \right\} |J| e^{i\theta_y(v_y)t} \\
& \times \left\{ \frac{1}{4}v_y - \frac{1}{2}v_x^2 v_y + \frac{1}{4}\mathbf{i}v_x + \left(-\frac{1}{4}v_y - \frac{1}{4}\mathbf{i}v_x \right) \sqrt{1 - 2v_x^2} \right\} \\
& + \int_{-\infty}^{\infty} \frac{dv_x}{2\pi} \int_{-\infty}^{\infty} \frac{dv_y}{2\pi} \left\{ (-v_x)^\alpha (-v_y)^\beta + (-v_x)^\beta (-v_y)^\alpha \right\} |J| e^{i\theta_y(v_y)t} \\
& \times \left\{ \frac{1}{4}v_y - \frac{1}{2}v_x^2 v_y - \frac{1}{4}\mathbf{i}v_x + \left(\frac{1}{4}v_y - \frac{1}{4}\mathbf{i}v_x \right) \sqrt{1 - 2v_x^2} \right\} \\
& + \int_{-\infty}^{\infty} \frac{dv_x}{2\pi} \int_{-\infty}^{\infty} \frac{dv_y}{2\pi} \left\{ v_x^\alpha v_y^\beta + v_x^\beta v_y^\alpha \right\} |J| e^{-i\theta_y(v_y)t} \\
& \times \left\{ \frac{1}{4}v_y - \frac{1}{2}v_x^2 v_y - \frac{1}{4}\mathbf{i}v_x + \left(-\frac{1}{4}v_y + \frac{1}{4}\mathbf{i}v_x \right) \sqrt{1 - 2v_x^2} \right\} \\
& + \int_{-\infty}^{\infty} \frac{dv_x}{2\pi} \int_{-\infty}^{\infty} \frac{dv_y}{2\pi} \left\{ (-v_x)^\alpha v_y^\beta + (-v_x)^\beta v_y^\alpha \right\} |J| e^{-i\theta_y(v_y)t} \\
& \times \left\{ \frac{1}{4}v_y - \frac{1}{2}v_x^2 v_y + \frac{1}{4}\mathbf{i}v_x + \left(\frac{1}{4}v_y + \frac{1}{4}\mathbf{i}v_x \right) \sqrt{1 - 2v_x^2} \right\} \\
& + \int_{-\infty}^{\infty} \frac{dv_x}{2\pi} \int_{-\infty}^{\infty} \frac{dv_y}{2\pi} \left\{ (-v_x)^\alpha v_y^\beta + (-v_x)^\beta v_y^\alpha \right\} |J| e^{i\theta_x(v_x)t} \\
& \times \left\{ \frac{1}{4}v_x - \frac{1}{2}v_x v_y^2 + \frac{1}{4}\mathbf{i}v_y + \left(-\frac{1}{4}v_x - \frac{1}{4}\mathbf{i}v_y \right) \sqrt{1 - 2v_y^2} \right\} \\
& + \int_{-\infty}^{\infty} \frac{dv_x}{2\pi} \int_{-\infty}^{\infty} \frac{dv_y}{2\pi} \left\{ (-v_x)^\alpha (-v_y)^\beta + (-v_x)^\beta (-v_y)^\alpha \right\} |J| e^{i\theta_x(v_x)t} \\
& \times \left\{ \frac{1}{4}v_x - \frac{1}{2}v_x v_y^2 - \frac{1}{4}\mathbf{i}v_y + \left(\frac{1}{4}v_x - \frac{1}{4}\mathbf{i}v_y \right) \sqrt{1 - 2v_y^2} \right\} \\
& + \int_{-\infty}^{\infty} \frac{dv_x}{2\pi} \int_{-\infty}^{\infty} \frac{dv_y}{2\pi} \left\{ v_x^\alpha v_y^\beta + v_x^\beta v_y^\alpha \right\} |J| e^{-i\theta_x(v_x)t} \\
& \times \left\{ \frac{1}{4}v_x - \frac{1}{2}v_x v_y^2 - \frac{1}{4}\mathbf{i}v_y + \left(-\frac{1}{4}v_x + \frac{1}{4}\mathbf{i}v_y \right) \sqrt{1 - 2v_y^2} \right\} \\
& + \int_{-\infty}^{\infty} \frac{dv_x}{2\pi} \int_{-\infty}^{\infty} \frac{dv_y}{2\pi} \left\{ v_x^\alpha (-v_y)^\beta + v_x^\beta (-v_y)^\alpha \right\} |J| e^{-i\theta_x(v_x)t} \\
& \times \left\{ \frac{1}{4}v_x - \frac{1}{2}v_x v_y^2 + \frac{1}{4}\mathbf{i}v_y + \left(\frac{1}{4}v_x + \frac{1}{4}\mathbf{i}v_y \right) \sqrt{1 - 2v_y^2} \right\} \\
& + \int_{-\infty}^{\infty} \frac{dv_x}{2\pi} \int_{-\infty}^{\infty} \frac{dv_y}{2\pi} \left\{ (-v_x)^\alpha (-v_y)^\beta + (-v_x)^\beta (-v_y)^\alpha \right\} |J| e^{i\{\theta_x(v_x) + \theta_y(v_y)\}t} \\
& \times \left(\frac{1}{2}v_x^2 v_y^2 + \frac{1}{4}\mathbf{i}v_x v_y \sqrt{1 - 2v_x^2} + \frac{1}{4}\mathbf{i}v_x v_y \sqrt{1 - 2v_y^2} \right)
\end{aligned}$$

$$\begin{aligned}
& + \int_{-\infty}^{\infty} \frac{dv_x}{2\pi} \int_{-\infty}^{\infty} \frac{dv_y}{2\pi} \left\{ v_x^\alpha v_y^\beta + v_x^\beta v_y^\alpha \right\} |J| e^{-i\{\theta_x(v_x) + \theta_y(v_y)\}t} \\
& \quad \times \left(\frac{1}{2} v_x^2 v_y^2 - \frac{1}{4} i v_x v_y \sqrt{1 - 2v_x^2} - \frac{1}{4} i v_x v_y \sqrt{1 - 2v_y^2} \right) \\
& + \int_{-\infty}^{\infty} \frac{dv_x}{2\pi} \int_{-\infty}^{\infty} \frac{dv_y}{2\pi} \left\{ (-v_x)^\alpha v_y^\beta + (-v_x)^\beta v_y^\alpha \right\} |J| e^{i\{\theta_x(v_x) - \theta_y(v_y)\}t} \\
& \quad \times \left(\frac{1}{2} v_x^2 v_y^2 - \frac{1}{4} i v_x v_y \sqrt{1 - 2v_x^2} + \frac{1}{4} i v_x v_y \sqrt{1 - 2v_y^2} \right) \\
& + \int_{-\infty}^{\infty} \frac{dv_x}{2\pi} \int_{-\infty}^{\infty} \frac{dv_y}{2\pi} \left\{ v_x^\alpha (-v_y)^\beta + v_x^\beta (-v_y)^\alpha \right\} |J| e^{-i\{\theta_x(v_x) - \theta_y(v_y)\}t} \\
& \quad \times \left(\frac{1}{2} v_x^2 v_y^2 + \frac{1}{4} i v_x v_y \sqrt{1 - 2v_x^2} - \frac{1}{4} i v_x v_y \sqrt{1 - 2v_y^2} \right)
\end{aligned} \tag{2.17}$$

とすると

$$\left\langle \left(\frac{X_{\mathbf{B}}(t)}{t} \right)^\alpha \left(\frac{Y_{\mathbf{B}}(t)}{t} \right)^\beta + \left(\frac{X_{\mathbf{B}}(t)}{t} \right)^\beta \left(\frac{Y_{\mathbf{B}}(t)}{t} \right)^\alpha \right\rangle = I_{\mathbf{B}} + J_{\mathbf{B}}(t) + \mathcal{O}\left(\frac{1}{t}\right) \tag{2.18}$$

となる。

フェルミオンの結合モーメント $\left\langle \left(\frac{X_{\mathbf{F}}(t)}{t} \right)^{\alpha} \left(\frac{Y_{\mathbf{F}}(t)}{t} \right)^{\beta} + \left(\frac{X_{\mathbf{F}}(t)}{t} \right)^{\beta} \left(\frac{Y_{\mathbf{F}}(t)}{t} \right)^{\alpha} \right\rangle$
は複号の下側を探ることによって得られる。 $I_{\mathbf{F}}$ と $J_{\mathbf{F}}(t)$ をそれぞれ

$$\begin{aligned}
I_{\mathbf{F}} = & \int_{-\infty}^{\infty} \frac{dv_x}{2\pi} \int_{-\infty}^{\infty} \frac{dv_y}{2\pi} \{ v_x^{\alpha} v_y^{\beta} + v_x^{\beta} v_y^{\alpha} \} |J| \\
& \times \left\{ \frac{1}{4} v_x^2 + \frac{1}{4} v_y^2 - \frac{1}{2} v_x^2 v_y^2 - \frac{1}{4} v_x v_y + \left(\frac{1}{4} v_x v_y - \frac{1}{4} v_y^2 \right) \sqrt{1 - 2v_x^2} \right. \\
& + \left. \left(\frac{1}{4} v_x v_y - \frac{1}{4} v_x^2 \right) \sqrt{1 - 2v_y^2} - \frac{1}{4} v_x v_y \sqrt{(1 - 2v_x^2)(1 - 2v_y^2)} \right\} \\
& + \int_{-\infty}^{\infty} \frac{dv_x}{2\pi} \int_{-\infty}^{\infty} \frac{dv_y}{2\pi} \{ v_x^{\alpha} (-v_y)^{\beta} + v_x^{\beta} (-v_y)^{\alpha} \} |J| \\
& \times \left\{ \frac{1}{4} v_x^2 + \frac{1}{4} v_y^2 - \frac{1}{2} v_x^2 v_y^2 + \frac{1}{4} v_x v_y + \left(-\frac{1}{4} v_x v_y - \frac{1}{4} v_y^2 \right) \sqrt{1 - 2v_x^2} \right. \\
& + \left. \left(\frac{1}{4} v_x v_y + \frac{1}{4} v_x^2 \right) \sqrt{1 - 2v_y^2} - \frac{1}{4} v_x v_y \sqrt{(1 - 2v_x^2)(1 - 2v_y^2)} \right\} \\
& + \int_{-\infty}^{\infty} \frac{dv_x}{2\pi} \int_{-\infty}^{\infty} \frac{dv_y}{2\pi} \{ (-v_x)^{\alpha} v_y^{\beta} + (-v_x)^{\beta} v_y^{\alpha} \} |J| \\
& \times \left\{ \frac{1}{4} v_x^2 + \frac{1}{4} v_y^2 - \frac{1}{2} v_x^2 v_y^2 + \frac{1}{4} v_x v_y + \left(\frac{1}{4} v_x v_y + \frac{1}{4} v_y^2 \right) \sqrt{1 - 2v_x^2} \right. \\
& + \left. \left(-\frac{1}{4} v_x v_y - \frac{1}{4} v_x^2 \right) \sqrt{1 - 2v_y^2} - \frac{1}{4} v_x v_y \sqrt{(1 - 2v_x^2)(1 - 2v_y^2)} \right\} \\
& + \int_{-\infty}^{\infty} \frac{dv_x}{2\pi} \int_{-\infty}^{\infty} \frac{dv_y}{2\pi} \{ (-v_x)^{\alpha} (-v_y)^{\beta} + (-v_x)^{\beta} (-v_y)^{\alpha} \} |J| \\
& \times \left\{ \frac{1}{4} v_x^2 + \frac{1}{4} v_y^2 - \frac{1}{2} v_x^2 v_y^2 - \frac{1}{4} v_x v_y + \left(\frac{1}{4} v_y^2 - \frac{1}{4} v_x v_y \right) \sqrt{1 - 2v_x^2} \right. \\
& + \left. \left(\frac{1}{4} v_x^2 - \frac{1}{4} v_x v_y \right) \sqrt{1 - 2v_y^2} - \frac{1}{4} v_x v_y \sqrt{(1 - 2v_x^2)(1 - 2v_y^2)} \right\} \\
& + \int_{-\infty}^{\infty} \frac{dv_x}{2\pi} \int_{-\infty}^{\infty} \frac{dv_y}{2\pi} \{ (-v_x)^{\alpha} v_y^{\beta} + (-v_x)^{\beta} v_y^{\alpha} \} |J| \\
& \times \left(-\frac{1}{2} v_x^2 v_y^2 - \frac{1}{4} v_x v_y - \frac{1}{4} v_x v_y \sqrt{(1 - 2v_x^2)(1 - 2v_y^2)} \right) \\
& + \int_{-\infty}^{\infty} \frac{dv_x}{2\pi} \int_{-\infty}^{\infty} \frac{dv_y}{2\pi} \{ v_x^{\alpha} (-v_y)^{\beta} + v_x^{\beta} (-v_y)^{\alpha} \} |J| \\
& \times \left(-\frac{1}{2} v_x^2 v_y^2 - \frac{1}{4} v_x v_y - \frac{1}{4} v_x v_y \sqrt{(1 - 2v_x^2)(1 - 2v_y^2)} \right) \tag{2.19}
\end{aligned}$$

および

$$\begin{aligned}
J_{\mathbf{F}}(t) = & \int_{-\infty}^{\infty} \frac{dv_x}{2\pi} \int_{-\infty}^{\infty} \frac{dv_y}{2\pi} \left\{ v_x^\alpha (-v_y)^\beta + v_x^\beta (-v_y)^\alpha \right\} |J| e^{i\theta_y(v_y)t} \\
& \times \left(\frac{1}{2} v_x^2 v_y - \frac{1}{4} v_y + \frac{1}{4} v_y \sqrt{1 - 2v_x^2} - \frac{1}{4} v_x \sqrt{1 - 2v_y^2} + \frac{1}{4} v_x \sqrt{(1 - 2v_x^2)(1 - 2v_y^2)} \right) \\
& + \int_{-\infty}^{\infty} \frac{dv_x}{2\pi} \int_{-\infty}^{\infty} \frac{dv_y}{2\pi} \left\{ (-v_x)^\alpha (-v_y)^\beta + (-v_x)^\beta (-v_y)^\alpha \right\} |J| e^{i\theta_y(v_y)t} \\
& \times \left(\frac{1}{2} v_x^2 v_y - \frac{1}{4} v_y - \frac{1}{4} v_y \sqrt{1 - 2v_x^2} + \frac{1}{4} v_x \sqrt{1 - 2v_y^2} + \frac{1}{4} v_x \sqrt{(1 - 2v_x^2)(1 - 2v_y^2)} \right) \\
& + \int_{-\infty}^{\infty} \frac{dv_x}{2\pi} \int_{-\infty}^{\infty} \frac{dv_y}{2\pi} \left\{ v_x^\alpha v_y^\beta + v_x^\beta v_y^\alpha \right\} |J| e^{-i\theta_y(v_y)t} \\
& \times \left(\frac{1}{2} v_x^2 v_y - \frac{1}{4} v_y + \frac{1}{4} v_y \sqrt{1 - 2v_x^2} - \frac{1}{4} v_x \sqrt{1 - 2v_y^2} + \frac{1}{4} v_x \sqrt{(1 - 2v_x^2)(1 - 2v_y^2)} \right) \\
& + \int_{-\infty}^{\infty} \frac{dv_x}{2\pi} \int_{-\infty}^{\infty} \frac{dv_y}{2\pi} \left\{ (-v_x)^\alpha v_y^\beta + (-v_x)^\beta v_y^\alpha \right\} |J| e^{-i\theta_y(v_y)t} \\
& \times \left(\frac{1}{2} v_x^2 v_y - \frac{1}{4} v_y - \frac{1}{4} v_y \sqrt{1 - 2v_x^2} + \frac{1}{4} v_x \sqrt{1 - 2v_y^2} + \frac{1}{4} v_x \sqrt{(1 - 2v_x^2)(1 - 2v_y^2)} \right) \\
& + \int_{-\infty}^{\infty} \frac{dv_x}{2\pi} \int_{-\infty}^{\infty} \frac{dv_y}{2\pi} \left\{ (-v_x)^\alpha v_y^\beta + (-v_x)^\beta v_y^\alpha \right\} |J| e^{i\theta_x(v_x)t} \\
& \times \left(\frac{1}{2} v_x v_y^2 - \frac{1}{4} v_x - \frac{1}{4} v_y \sqrt{1 - 2v_x^2} + \frac{1}{4} v_x \sqrt{1 - 2v_y^2} + \frac{1}{4} v_y \sqrt{(1 - 2v_x^2)(1 - 2v_y^2)} \right) \\
& + \int_{-\infty}^{\infty} \frac{dv_x}{2\pi} \int_{-\infty}^{\infty} \frac{dv_y}{2\pi} \left\{ (-v_x)^\alpha (-v_y)^\beta + (-v_x)^\beta (-v_y)^\alpha \right\} |J| e^{i\theta_x(v_x)t} \\
& \times \left(\frac{1}{2} v_x v_y^2 - \frac{1}{4} v_x + \frac{1}{4} v_y \sqrt{1 - 2v_x^2} - \frac{1}{4} v_x \sqrt{1 - 2v_y^2} + \frac{1}{4} v_y \sqrt{(1 - 2v_x^2)(1 - 2v_y^2)} \right) \\
& + \int_{-\infty}^{\infty} \frac{dv_x}{2\pi} \int_{-\infty}^{\infty} \frac{dv_y}{2\pi} \left\{ v_x^\alpha v_y^\beta + v_x^\beta v_y^\alpha \right\} |J| e^{-i\theta_x(v_x)t} \\
& \times \left(\frac{1}{2} v_x v_y^2 - \frac{1}{4} v_x - \frac{1}{4} v_y \sqrt{1 - 2v_x^2} + \frac{1}{4} v_x \sqrt{1 - 2v_y^2} + \frac{1}{4} v_y \sqrt{(1 - 2v_x^2)(1 - 2v_y^2)} \right) \\
& + \int_{-\infty}^{\infty} \frac{dv_x}{2\pi} \int_{-\infty}^{\infty} \frac{dv_y}{2\pi} \left\{ v_x^\alpha (-v_y)^\beta + v_x^\beta (-v_y)^\alpha \right\} |J| e^{-i\theta_x(v_x)t} \\
& \times \left(\frac{1}{2} v_x v_y^2 - \frac{1}{4} v_x + \frac{1}{4} v_y \sqrt{1 - 2v_x^2} - \frac{1}{4} v_x \sqrt{1 - 2v_y^2} + \frac{1}{4} v_y \sqrt{(1 - 2v_x^2)(1 - 2v_y^2)} \right) \\
& + \int_{-\infty}^{\infty} \frac{dv_x}{2\pi} \int_{-\infty}^{\infty} \frac{dv_y}{2\pi} \left\{ (-v_x)^\alpha (-v_y)^\beta + (-v_x)^\beta (-v_y)^\alpha \right\} |J| e^{i\{\theta_x(v_x)+\theta_y(v_y)\}t} \\
& \times \left(-\frac{1}{2} v_x^2 v_y^2 + \frac{1}{4} v_x v_y - \frac{1}{4} v_x v_y \sqrt{(1 - 2v_x^2)(1 - 2v_y^2)} \right)
\end{aligned}$$

$$\begin{aligned}
& + \int_{-\infty}^{\infty} \frac{dv_x}{2\pi} \int_{-\infty}^{\infty} \frac{dv_y}{2\pi} \left\{ v_x^\alpha v_y^\beta + v_x^\beta v_y^\alpha \right\} |J| e^{-i\{\theta_x(v_x) + \theta_y(v_y)\}t} \\
& \times \left(-\frac{1}{2}v_x^2 v_y^2 + \frac{1}{4}v_x v_y - \frac{1}{4}v_x v_y \sqrt{(1-2v_x^2)(1-2v_y^2)} \right) \\
& + \int_{-\infty}^{\infty} \frac{dv_x}{2\pi} \int_{-\infty}^{\infty} \frac{dv_y}{2\pi} \left\{ (-v_x)^\alpha v_y^\beta + (-v_x)^\beta v_y^\alpha \right\} |J| [e^{i\{\theta_x(v_x) - \theta_y(v_y)\}t} - 1] \\
& \times \left(-\frac{1}{2}v_x^2 v_y^2 - \frac{1}{4}v_x v_y - \frac{1}{4}v_x v_y \sqrt{(1-2v_x^2)(1-2v_y^2)} \right) \\
& + \int_{-\infty}^{\infty} \frac{dv_x}{2\pi} \int_{-\infty}^{\infty} \frac{dv_y}{2\pi} \left\{ v_x^\alpha (-v_y)^\beta + v_x^\beta (-v_y)^\alpha \right\} |J| [e^{-i\{\theta_x(v_x) - \theta_y(v_y)\}t} - 1] \\
& \times \left(-\frac{1}{2}v_x^2 v_y^2 - \frac{1}{4}v_x v_y - \frac{1}{4}v_x v_y \sqrt{(1-2v_x^2)(1-2v_y^2)} \right)
\end{aligned} \tag{2.20}$$

とすると

$$\left\langle \left(\frac{X_{\mathbf{F}}(t)}{t} \right)^\alpha \left(\frac{Y_{\mathbf{F}}(t)}{t} \right)^\beta + \left(\frac{X_{\mathbf{F}}(t)}{t} \right)^\beta \left(\frac{Y_{\mathbf{F}}(t)}{t} \right)^\alpha \right\rangle = I_{\mathbf{F}} + J_{\mathbf{F}}(t) + \mathcal{O}\left(\frac{1}{t}\right) \tag{2.21}$$

となる。

以下、結合モーメントの次数 α, β の偶奇性について場合分けして解析を行うこととする。

(i) α : 偶数, β : 偶数の場合

$$v_x^\alpha v_y^\beta + v_x^\beta v_y^\alpha = v_x^\alpha v_y^\beta + v_x^\beta v_y^\alpha, \quad v_x^\alpha (-v_y)^\beta + v_x^\beta (-v_y)^\alpha = v_x^\alpha v_y^\beta + v_x^\beta v_y^\alpha,$$

$$(-v_x)^\alpha v_y^\beta + (-v_x)^\beta v_y^\alpha = v_x^\alpha v_y^\beta + v_x^\beta v_y^\alpha, \quad (-v_x)^\alpha (-v_y)^\beta + (-v_x)^\beta (-v_y)^\alpha = v_x^\alpha v_y^\beta + v_x^\beta v_y^\alpha$$

であるから

$$I_{\mathbf{B}} = \int_{-\infty}^{\infty} \frac{dv_x}{2\pi} \int_{-\infty}^{\infty} \frac{dv_y}{2\pi} \{v_x^\alpha v_y^\beta + v_x^\beta v_y^\alpha\} |J| \times (1 - v_x^2 - v_y^2 + 2v_x^2 v_y^2),$$

$$J_{\mathbf{B}}(t) = \int_{-\infty}^{\infty} \frac{dv_x}{2\pi} \int_{-\infty}^{\infty} \frac{dv_y}{2\pi} \{v_x^\alpha v_y^\beta + v_x^\beta v_y^\alpha\} |J|$$

$$\times v_x^2 v_y^2 [\cos \{(\theta_x + \theta_y) t\} + \cos \{(\theta_x - \theta_y) t\} - 1],$$

$$I_{\mathbf{F}} = \int_{-\infty}^{\infty} \frac{dv_x}{2\pi} \int_{-\infty}^{\infty} \frac{dv_y}{2\pi} \{v_x^\alpha v_y^\beta + v_x^\beta v_y^\alpha\} |J|$$

$$\times \frac{2v_x^2 + 2v_y^2 + 2v_x v_y - 3v_x^2 v_y^2}{2v_x^2 + 2v_y^2 - v_x v_y - 6v_x^2 v_y^2 + 3v_x v_y \sqrt{(1 - 2v_x^2)(1 - 2v_y^2)}} \times (v_x - v_y)^2,$$

$$J_{\mathbf{F}}(t) = \int_{-\infty}^{\infty} \frac{dv_x}{2\pi} \int_{-\infty}^{\infty} \frac{dv_y}{2\pi} \{v_x^\alpha v_y^\beta + v_x^\beta v_y^\alpha\} |J|$$

$$\times v_x^2 v_y^2 [1 - \cos \{(\theta_x + \theta_y) t\} - \cos \{(\theta_x - \theta_y) t\}].$$

(ii) α : 奇数, β : 奇数の場合

$$v_x^\alpha v_y^\beta + v_x^\beta v_y^\alpha = v_x^\alpha v_y^\beta + v_x^\beta v_y^\alpha, \quad v_x^\alpha (-v_y)^\beta + v_x^\beta (-v_y)^\alpha = - (v_x^\alpha v_y^\beta + v_x^\beta v_y^\alpha),$$

$$(-v_x)^\alpha v_y^\beta + (-v_x)^\beta v_y^\alpha = - (v_x^\alpha v_y^\beta + v_x^\beta v_y^\alpha), \quad (-v_x)^\alpha (-v_y)^\beta + (-v_x)^\beta (-v_y)^\alpha = v_x^\alpha v_y^\beta + v_x^\beta v_y^\alpha$$

であるから

$$I_{\mathbf{B}} = \int_{-\infty}^{\infty} \frac{dv_x}{2\pi} \int_{-\infty}^{\infty} \frac{dv_y}{2\pi} \{v_x^\alpha v_y^\beta + v_x^\beta v_y^\alpha\} |J| \times \sqrt{(1-2v_x^2)(1-2v_y^2)},$$

$$\begin{aligned} J_{\mathbf{B}}(t) &= \int_{-\infty}^{\infty} \frac{dv_x}{2\pi} \int_{-\infty}^{\infty} \frac{dv_y}{2\pi} \{v_x^\alpha v_y^\beta + v_x^\beta v_y^\alpha\} |J| \\ &\times \frac{1}{2} v_x v_y \left[\left(\sqrt{1-2v_x^2} - \sqrt{1-2v_y^2} \right) \sin\{(\theta_x - \theta_y)t\} \right. \\ &\left. - \left(\sqrt{1-2v_x^2} + \sqrt{1-2v_y^2} \right) \sin\{(\theta_x + \theta_y)t\} \right], \end{aligned}$$

$$\begin{aligned} I_{\mathbf{F}} &= \int_{-\infty}^{\infty} \frac{dv_x}{2\pi} \int_{-\infty}^{\infty} \frac{dv_y}{2\pi} \{v_x^\alpha v_y^\beta + v_x^\beta v_y^\alpha\} |J| \\ &\times \frac{v_x^2 v_y^2}{2v_x^2 v_y^2 - v_x v_y - v_x v_y \sqrt{(1-2v_x^2)(1-2v_y^2)}} \times (v_x - v_y)^2, \end{aligned}$$

$$\begin{aligned} J_{\mathbf{F}}(t) &= \int_{-\infty}^{\infty} \frac{dv_x}{2\pi} \int_{-\infty}^{\infty} \frac{dv_y}{2\pi} \{v_x^\alpha v_y^\beta + v_x^\beta v_y^\alpha\} |J| \\ &\times \frac{1}{2} v_x v_y \left[\left(1 - \sqrt{(1-2v_x^2)(1-2v_y^2)} \right) \cos\{(\theta_x + \theta_y)t\} \right. \\ &\left. + \left(1 + \sqrt{(1-2v_x^2)(1-2v_y^2)} \right) (1 - \cos\{(\theta_x - \theta_y)t\}) \right]. \end{aligned}$$

(iii) α : 偶数, β : 奇数の場合

$$v_x^\alpha v_y^\beta + v_x^\beta v_y^\alpha = v_x^\alpha v_y^\beta + v_x^\beta v_y^\alpha, \quad v_x^\alpha (-v_y)^\beta + v_x^\beta (-v_y)^\alpha = -v_x^\alpha v_y^\beta + v_x^\beta v_y^\alpha,$$

$$(-v_x)^\alpha v_y^\beta + (-v_x)^\beta v_y^\alpha = v_x^\alpha v_y^\beta - v_x^\beta v_y^\alpha, \quad (-v_x)^\alpha (-v_y)^\beta + (-v_x)^\beta (-v_y)^\alpha = -(v_x^\alpha v_y^\beta + v_x^\beta v_y^\alpha)$$

であるから

$$I_{\mathbf{B}} = 0,$$

$$J_{\mathbf{B}}(t) = \int_{-\infty}^{\infty} \frac{dv_x}{2\pi} \int_{-\infty}^{\infty} \frac{dv_y}{2\pi} |J|$$

$$\times [v_x^\alpha v_y^\beta \{(2v_x^2 v_y - v_y) \mathbf{i} \sin(\theta_y t) - v_y \sin(\theta_x t)\}$$

$$+ v_x^\beta v_y^\alpha \{(2v_x v_y^2 - v_x) \mathbf{i} \sin(\theta_x t) - v_x \sin(\theta_y t)\}],$$

$$I_{\mathbf{F}} = 0,$$

$$J_{\mathbf{F}}(t) = \int_{-\infty}^{\infty} \frac{dv_x}{2\pi} \int_{-\infty}^{\infty} \frac{dv_y}{2\pi} |J|$$

$$\times [v_x^\alpha v_y^\beta \{(v_y - 2v_x^2 v_y) \mathbf{i} \sin(\theta_y t) - v_y \sqrt{1 - 2v_x^2} \cos(\theta_x t)\}$$

$$+ v_x^\beta v_y^\alpha \{(v_x - 2v_x v_y^2) \mathbf{i} \sin(\theta_x t) - v_x \sqrt{1 - 2v_y^2} \cos(\theta_y t)\}],$$

(iv) α : 奇数, β : 偶数の場合

$$v_x^\alpha v_y^\beta + v_x^\beta v_y^\alpha = v_x^\alpha v_y^\beta + v_x^\beta v_y^\alpha, \quad v_x^\alpha (-v_y)^\beta + v_x^\beta (-v_y)^\alpha = v_x^\alpha v_y^\beta - v_x^\beta v_y^\alpha,$$

$$(-v_x)^\alpha v_y^\beta + (-v_x)^\beta v_y^\alpha = -v_x^\alpha v_y^\beta + v_x^\beta v_y^\alpha, \quad (-v_x)^\alpha (-v_y)^\beta + (-v_x)^\beta (-v_y)^\alpha = - (v_x^\alpha v_y^\beta + v_x^\beta v_y^\alpha)$$

であるから

$$I_{\mathbf{B}} = 0,$$

$$J_{\mathbf{B}}(t) = \int_{-\infty}^{\infty} \frac{dv_x}{2\pi} \int_{-\infty}^{\infty} \frac{dv_y}{2\pi} |J|$$

$$\times [v_x^\alpha v_y^\beta \{(2v_x v_y^2 - v_x) \mathbf{i} \sin(\theta_x t) - v_x \sin(\theta_y t)\}$$

$$+ v_x^\beta v_y^\alpha \{(2v_x^2 v_y - v_y) \mathbf{i} \sin(\theta_y t) - v_y \sin(\theta_x t)\}],$$

$$I_{\mathbf{F}} = 0,$$

$$J_{\mathbf{F}}(t) = \int_{-\infty}^{\infty} \frac{dv_x}{2\pi} \int_{-\infty}^{\infty} \frac{dv_y}{2\pi} |J|$$

$$\times [v_x^\alpha v_y^\beta \{(v_x - 2v_x v_y^2) \mathbf{i} \sin(\theta_x t) - v_x \sqrt{1 - 2v_y^2} \sin(\theta_y t)\}$$

$$+ v_x^\beta v_y^\alpha \{(v_y - 2v_x^2 v_y) \mathbf{i} \sin(\theta_y t) - v_y \sqrt{1 - 2v_x^2} \cos(\theta_x t)\}],$$

長時間極限 $t \rightarrow \infty$ を採ると

$$\lim_{t \rightarrow \infty} \left\langle \left(\frac{X_{\mathbf{B}}(t)}{t} \right)^{\alpha} \left(\frac{Y_{\mathbf{B}}(t)}{t} \right)^{\beta} + \left(\frac{X_{\mathbf{B}}(t)}{t} \right)^{\beta} \left(\frac{Y_{\mathbf{B}}(t)}{t} \right)^{\alpha} \right\rangle = I_{\mathbf{B}} + \lim_{t \rightarrow \infty} J_{\mathbf{B}}(t),$$

$$\lim_{t \rightarrow \infty} \left\langle \left(\frac{X_{\mathbf{F}}(t)}{t} \right)^{\alpha} \left(\frac{Y_{\mathbf{F}}(t)}{t} \right)^{\beta} + \left(\frac{X_{\mathbf{F}}(t)}{t} \right)^{\beta} \left(\frac{Y_{\mathbf{F}}(t)}{t} \right)^{\alpha} \right\rangle = I_{\mathbf{F}} + \lim_{t \rightarrow \infty} J_{\mathbf{F}}(t).$$

$J_{\mathbf{B}}(t)$ と $J_{\mathbf{F}}(t)$ は時間 t の振動項から成る。よって長時間極限 $t \rightarrow \infty$ においては、これらの項の寄与は均されて消えてしまうことが予想される。以下、このランダム位相近似を用いることとし

$$\lim_{t \rightarrow \infty} J_{\mathbf{B}}(t) = \lim_{t \rightarrow \infty} J_{\mathbf{F}}(t) = 0$$

とする。結果として

$$\lim_{t \rightarrow \infty} \left\langle \left(\frac{X_{\mathbf{B}}(t)}{t} \right)^{\alpha} \left(\frac{Y_{\mathbf{B}}(t)}{t} \right)^{\beta} + \left(\frac{X_{\mathbf{B}}(t)}{t} \right)^{\beta} \left(\frac{Y_{\mathbf{B}}(t)}{t} \right)^{\alpha} \right\rangle = I_{\mathbf{B}}, \quad (2.22)$$

$$\lim_{t \rightarrow \infty} \left\langle \left(\frac{X_{\mathbf{F}}(t)}{t} \right)^{\alpha} \left(\frac{Y_{\mathbf{F}}(t)}{t} \right)^{\beta} + \left(\frac{X_{\mathbf{F}}(t)}{t} \right)^{\beta} \left(\frac{Y_{\mathbf{F}}(t)}{t} \right)^{\alpha} \right\rangle = I_{\mathbf{F}} \quad (2.23)$$

となる。

第3章 結論

3.1 結果のまとめ

第2章で記述した計算の結果、ランダム位相近似を用いると、次のような極限定理が2次元量子ウォークのボソン・フェルミオン模型に対して得られたことになる。

(i) ボソン模型の場合

$$\begin{aligned} & \lim_{t \rightarrow \infty} \left\langle \left(\frac{X_{\mathbf{B}}(t)}{t} \right)^{\alpha} \left(\frac{Y_{\mathbf{B}}(t)}{t} \right)^{\beta} + \left(\frac{X_{\mathbf{B}}(t)}{t} \right)^{\beta} \left(\frac{Y_{\mathbf{B}}(t)}{t} \right)^{\alpha} \right\rangle \\ &= \int_{-\infty}^{\infty} dv_x \int_{-\infty}^{\infty} dv_y \frac{v_x^{\alpha} v_y^{\beta} + v_x^{\beta} v_y^{\alpha}}{2} f_{\mathbf{B}}(v_x, v_y), \quad \alpha, \beta \in \{0, 1, 2, \dots\}. \end{aligned} \quad (3.1)$$

但し、ボソンの確率密度関数 $f_{\mathbf{B}}(v_x, v_y)$ は今野関数 (1.16) を用いて

$$f_{\mathbf{B}}(v_x, v_y) = K(v_x)K(v_y)\mu_{\mathbf{B}}(v_x, v_y), \quad (3.2)$$

$$\mu_{\mathbf{B}}(v_x, v_y) = \begin{cases} \frac{1}{2} - \frac{1}{2}v_x^2 - \frac{1}{2}v_y^2 + v_x^2 v_y^2 & \alpha : \text{偶数}, \beta : \text{偶数}, \\ \frac{1}{2}\sqrt{(1 - 2v_x^2)(1 - 2v_y^2)} & \alpha : \text{奇数}, \beta : \text{奇数}, \\ 0 & \alpha : \text{偶数}, \beta : \text{奇数}, \\ 0 & \alpha : \text{奇数}, \beta : \text{偶数}. \end{cases} \quad (3.3)$$

図3.1は α :偶数, β :偶数の場合を、図3.2は α :奇数, β :奇数の場合の $f_{\mathbf{B}}(v_x, v_y)$ を示す。

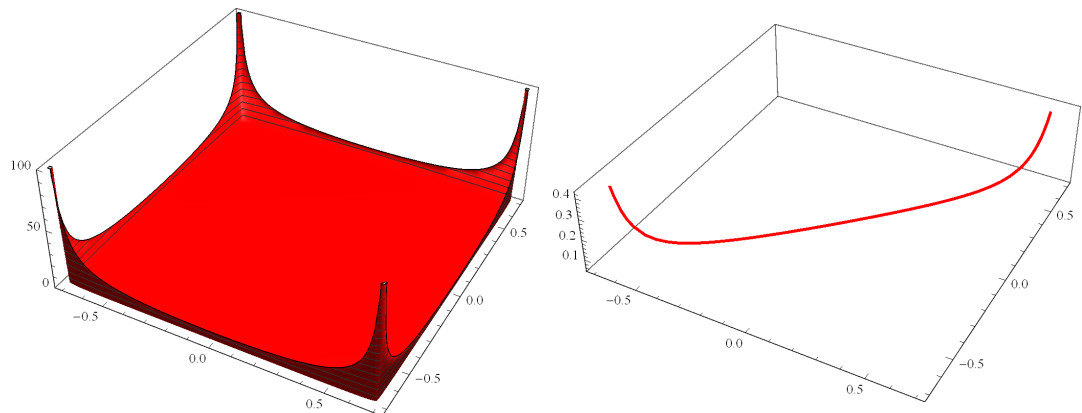


図 3.1: α : 偶数, β : 偶数の場合. 左は $f_{\mathbf{B}}(v_x, v_y)$ のグラフ. 右は $f_{\mathbf{B}}(v_x, v_y)$ の $v_x = v_y$ による切り口.

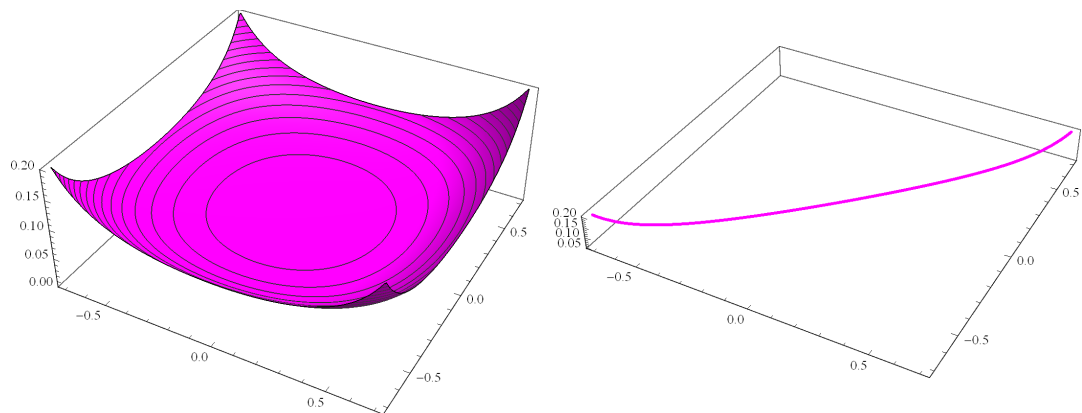


図 3.2: α : 奇数, β : 奇数の場合. 左は $f_{\mathbf{B}}(v_x, v_y)$ のグラフ. 右は $f_{\mathbf{B}}(v_x, v_y)$ の $v_x = v_y$ による切り口.

(ii) フエルミオン模型の場合

$$\begin{aligned} & \lim_{t \rightarrow \infty} \left\langle \left(\frac{X_{\mathbf{F}}(t)}{t} \right)^{\alpha} \left(\frac{Y_{\mathbf{F}}(t)}{t} \right)^{\beta} + \left(\frac{X_{\mathbf{F}}(t)}{t} \right)^{\beta} \left(\frac{Y_{\mathbf{F}}(t)}{t} \right)^{\alpha} \right\rangle \\ &= \int_{-\infty}^{\infty} dv_x \int_{-\infty}^{\infty} dv_y \frac{v_x^{\alpha} v_y^{\beta} + v_x^{\beta} v_y^{\alpha}}{2} f_{\mathbf{F}}(v_x, v_y), \quad \alpha, \beta \in \{0, 1, 2, \dots\}. \end{aligned} \quad (3.4)$$

但し、フェルミオンの確率密度関数 $f_{\mathbf{F}}(v_x, v_y)$ は今野関数 (1.16) を用いて

$$f_{\mathbf{F}}(v_x, v_y) = K(v_x)K(v_y)\mu_{\mathbf{F}}(v_x, v_y)(v_x - v_y)^2, \quad (3.5)$$

$$\mu_{\mathbf{F}}(v_x, v_y) = \begin{cases} \frac{2v_x^2 + 2v_y^2 + 2v_x v_y - 3v_x^2 v_y^2}{4v_x^2 + 4v_y^2 - 2v_x v_y - 12v_x^2 v_y^2 + 6v_x v_y \sqrt{(1-2v_x^2)(1-2v_y^2)}} & \alpha : \text{偶数}, \beta : \text{偶数}, \\ \frac{v_x^2 v_y^2}{4v_x^2 v_y^2 - 2v_x v_y - 2v_x v_y \sqrt{(1-2v_x^2)(1-2v_y^2)}} & \alpha : \text{奇数}, \beta : \text{奇数}, \\ 0 & \alpha : \text{偶数}, \beta : \text{奇数}, \\ 0 & \alpha : \text{奇数}, \beta : \text{偶数}. \end{cases} \quad (3.6)$$

図 3.3 は α : 偶数, β : 偶数の場合を、図 3.4 は α : 奇数, β : 奇数の場合の $f_{\mathbf{F}}(v_x, v_y)$ を示す。

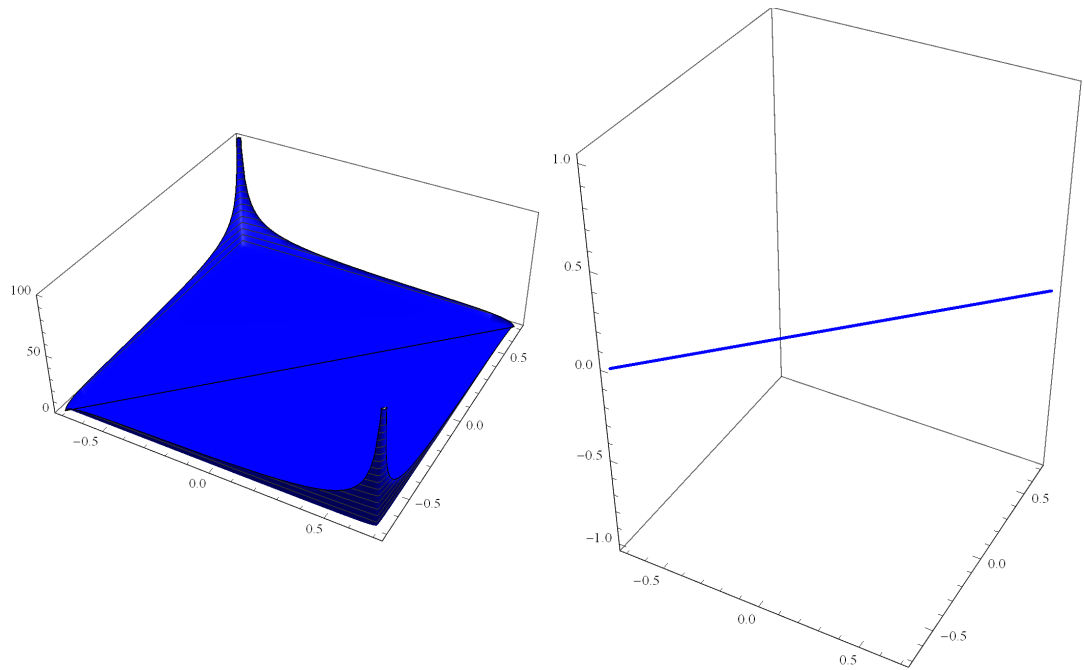


図 3.3: α : 偶数, β : 偶数の場合. 左は $f_{\mathbf{F}}(v_x, v_y)$ のグラフ. 右は $f_{\mathbf{F}}(v_x, v_y)$ の $v_x = v_y$ による切り口.

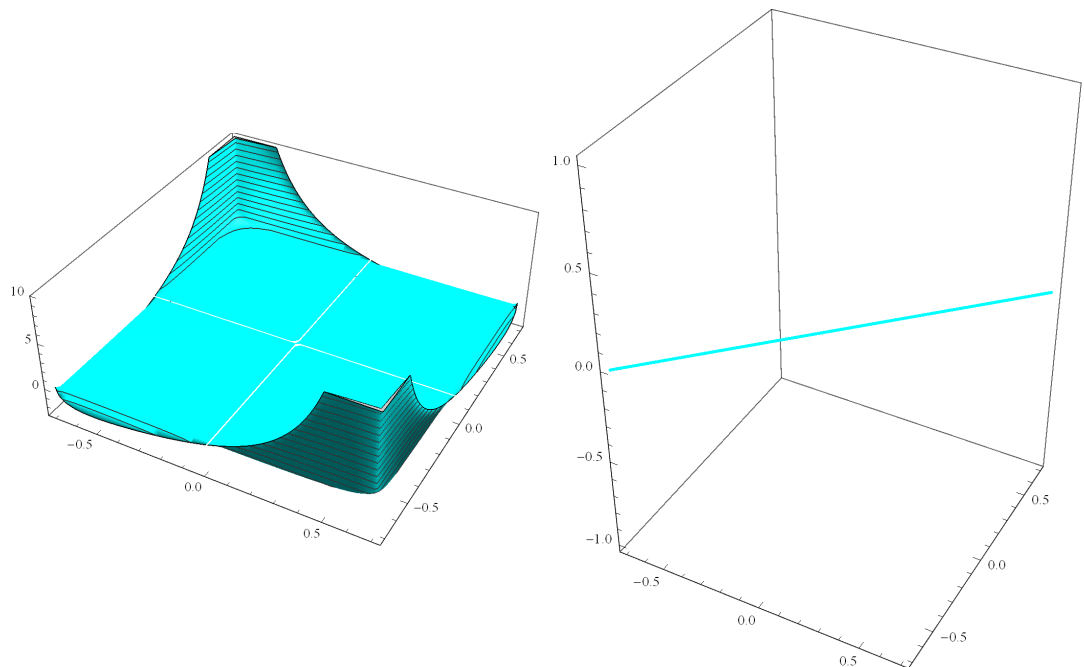


図 3.4: α : 奇数, β : 奇数の場合. 左は $f_{\mathbf{F}}(v_x, v_y)$ のグラフ. 右は $f_{\mathbf{F}}(v_x, v_y)$ の $v_x = v_y$ による切り口.

3.2 考察

α : 偶数, β : 偶数の図 3.1 と図 3.3 は, 数値計算により直接的にプロットした図 2.1 に類似している. しかしながら, α : 奇数, β : 奇数の図 3.2 では z 軸に垂直な断面は円形となり, 図 3.4 では第 1 象限と第 3 象限において部分的に負の領域が現れてしまい, いずれも図 2.1 とは大きく異なる結果となってしまった. α と β の偶奇性が異なる場合, I_B や I_F の被積分関数の各項には v_x もしくは v_y に関する奇関数が現れるが, 積分範囲が対称的であるため積分は 0 となってしまった.

2 種類の 2 次元模型の長時間極限確率密度関数は, (3.2) と (3.5) に示したようにいずれも, x 方向及び y 方向の今野関数 $K(v)$ と対称関数の積で表れる結果となった. フェルミオン模型では, (3.5) はさらに $(v_x - v_y)^2$ を含んでおり, これはパウリの排他原理を表している. またこれによって, 各方向独立な 1 次元量子ウォークを D 個用意して得られる D 次元フェルミオン確率密度関数には $\prod_{1 \leq j < k \leq D} (v_k - v_j)^2$ が含まれると予想でき, GUE ランダム行列の固有値分布の確率密度関数との類比が見られることが期待される.

計算過程において, フェルミオン模型では I_F と $J_F(t)$ の両方に $(v_x - v_y)^2$ の因子が現れると予想していた. 当初 I_F は I_B と同様に四つの積分で構成されていたが, 確率密度関数に $(v_x - v_y)^2$ の因子が現れなかつたために $J_F(t)$ から式を差し引き, その分を I_F に加え, 改めて I_F と $J_F(t)$ を再構成してから計算を実行した. それゆえ I_F は I_B よりも積分の数が二つ多く, さらに $J_F(t)$ の最後の二つの積分は $J_B(t)$ とは異なる形となっている. しかし結果として, $J_F(t)$ には $(v_x - v_y)^2$ の因子は現れなかった.

α : 偶数, β : 偶数の場合と α : 奇数, β : 奇数の場合, 確率密度関数の積分値は 1 にはならず, 規格化されなかった. そのためスレーター行列式のように (2.2) に対し規格化定数を掛けることも想定された. しかし実は規格化定数を掛ける前の積分値は 1 よりも小さい. これはランダム位相近似によって時間に依存する積分を落としたことに起因するかもしれない. また, 上述のように奇関数の積分は 0 となる. そのため確率密度関数に任意の奇関数を足しても結合モーメントとしては同じ値となる. それゆえ確率密度関数が不定となってしまう問題（いわゆるモーメント問題）も考えられる.

本論文では, ポソン模型とフェルミオン模型という 2 種類の新しいタイプの 2 次元量子ウォーク模型を考案した. フーリエ解析法を用いることにより, 長時間極限における結合モーメント極限定理を導出することを試みた. 最終的には, ランダム位相近似を用いることにより, 偶数次結合モーメントに対しては, 直接的な数値計算の結果を再現する解析的な結果を得ることに成功した. しかしながら上述のように, 結果にはまだいくつか問題点が残されている. 2 次元量子ウォークに関する解析的な研究は未だ少なく, 将来の研究が望まれる.

参考文献

- [1] 今野紀雄, 量子ウォークの数理, 産業図書 (2008).
- [2] 今野紀雄, 量子ウォーク, 森北出版 (2014).
- [3] 町田拓也, 図で解る量子ウォーク入門, 森北出版 (2015).
- [4] N.Konno, Quantum Inf. Process., **1**, 345-354 (2002).
- [5] N.Konno, J. Math. Soc. Jpn., **57**, 1179-1195 (2005).
- [6] G.Grimmett, S.Janson, and P.F.Scudo, Phys. Rev. E, **69**, 026119 (2004).
- [7] K.Watabe, N.Kobayashi, M.Katori, and N.Konno, Phys. Rev. A, **77**, 062331 (2008).